

پروژه درس انجام داده شد

# اتمایزینگ

بِسْمِ اللّٰهِ الرَّحْمٰنِ الرَّحِيْمِ

منظور از انجماد سریع ، سرد کردن مذاب با سرعت بالا می باشد به گونه ای که تا حد ممکن از انجام استحاله ها به صورت تعادلی جلوگیری شود. جلوگیری از بلوری شدن آلیاژ مذاب یکی از اهداف انجماد سریع می باشد. به علت نیاز به سرعت سرد شدن زیاد ، از تکنیک های متداول کوئنچ نمی توان استفاده کرد. بخوبی نشان داده شده است که انجماد سریع آلیاژها، باعث گسترش محدوده قابلیت انحلال و میزان خلوص ریز ساختار و اغلب منجر به ظهر فازهای نیمه پایدار و بی نظم میشود. این اثرات کاربرد های مفیدی در بهبود بخشیدن به خواص مکانیکی و مغناطیسی مواد دارند. سرعت انجمادیک پارامتر قاطع است که شکل میکرو ساختار را در فرآیندانجماد سریع تماسی تحت تاثیرقرار می دهد.

### تاریخچه

انگیزه اولیه از تولید جامد سریع سرد شده جلوگیری از جدایش دو فاز در سیستم های آلیاژی دوفازی بود.

اولین محلول جامد سریع سرد شده در سال ۱۹۵۹ از سیستم مس - نقره بدست آمد. انجماد سریع در ابتدا تنها در مقیاس آزمایشگاهی جهت تولید نمونه های ریز یا صفحات بسیار نازک استفاده می شد. امروزه از این تکنولوژی برای ریخته گری مداوم نوار آلیاژهای آمورف و تولید پودر آلیاژها و سوپر آلیاژها استفاده می شود.

### عوامل مؤثر بر ریز ساختار حاصل از انجماد

- ترکیب آلیاژ
- گرادیان دمایی در مقابل جبهه انجماد پیش رونده
- سرعت فصل مشترک (سرعت انجماد)
- انرژی سطحی فصل مشترک جامد - مذاب
- نوع و میزان ناخالصی و اثرات آن بر جوانه زنی غیر همگن

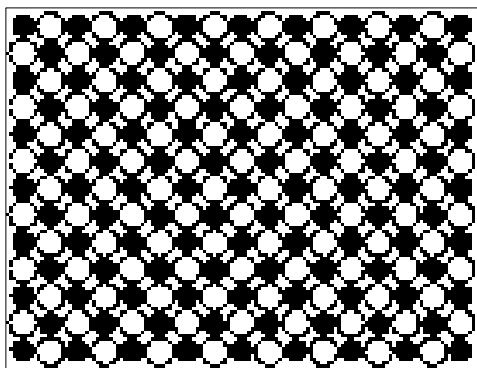
- رشد فاز جامد

## اثرات انجماد سریع بر ریز ساختار

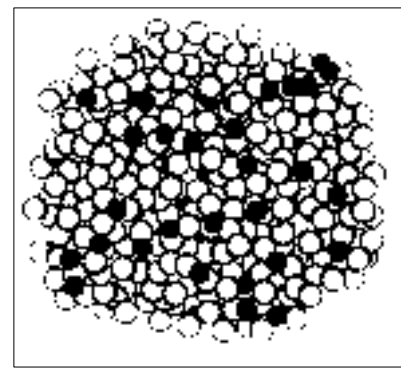
فرایند انجماد سریع اثرات قابل ملاحظه‌ای بر ریز ساختار حاصل از انجماد دارد. پاره‌ای از این تاثیرات

ubarنداز:

- افزایش یکنواختی ترکیب شیمیابی
- نظم کم دامنه
- کاهش اندازه دانه
- افزایش حد فوق اشباع
- حصول ساختار کریستالی غیر تعادلی
- افزایش معایب و جاهای خالی



کریستالی



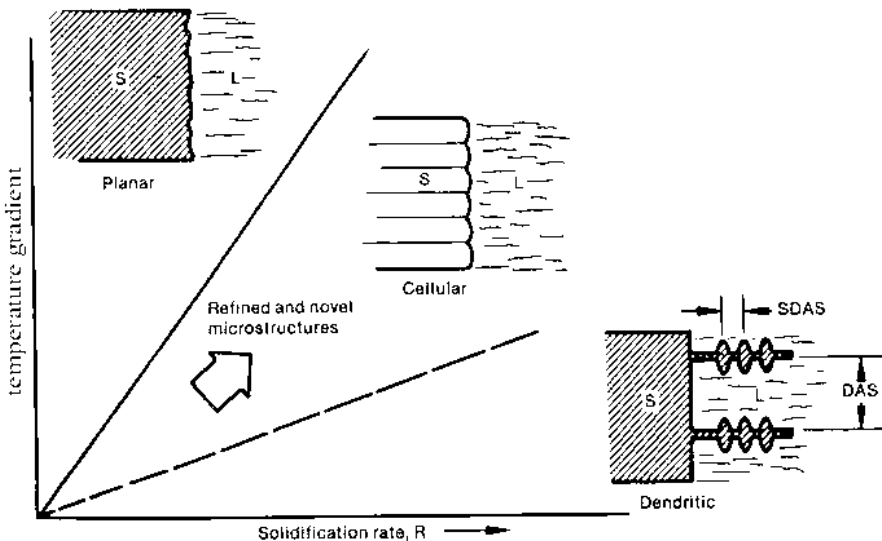
سریع سرد شده

## نتایج حاصل از تغییر ساختار

بطورکلی در اثر انجام سریع تغییرات ساختاری را خواهیم داشت که نتایج قابل توجهی را به دنبال دارد. انجام سریع منجر به کاهش اندازه دانه می شود که افزایش استحکام را به دنبال دارد. به یکنواختی ساختار و در پی آن افزایش حد تسلیم، تافنس شکست و مقاومت به خوردگی می انجامد. تعداد جاهای خالی افزایش می یابد و افزایش سرعت نفوذ را به دنبال دارد و بدینه رسوب در دمای پایین تر و زمان کوتاه تر انجام می شود.

## اثرات تغییر سرعت انجام

$$d = a(T_{ave}^{\circ})^{-n} = b t_f^n \quad T_{ave}^{\circ} = \frac{\Delta T}{t_f}$$



## شرایط انجام سریع

دو شرط اساسی برای انجام سریع عبارتند از :

۱- خروج حرارت با سرعت بسیار بالا از جامد ۲- وجود یک بعد بسیار کوچک (مانند ورقه، پودر و ریبون)

فاصله بازوهای دندریتی ( $\mu\text{m}$ )	سرعت سرد شدن (k/s)
500-5000	$10^{-6}$ - $10^{-3}$
50-500	$10^{-3}$ -1
5-50	1- $10^3$
0.5-5	$10^3$ - $10^6$
0.05-0.5	$10^6$ - $10^9$ and higher

### فرآیند انجاماد

در انجاماد سریع فرض بر آن است که تنها رشد وجود دارد و جوانه زنی صورت نمی‌گیرد. یعنی در واقع به علت سرعت بالای انجاماد، مرحله جوانه زنی خیلی کوتاه است.

### دلایل رشد سریع

- فوق تبرید بالای مذاب در غیاب جوانه‌های غیر همگن مؤثر (ساختار پودری)
- حرکت سریع میدان دمایی ( مشابه عملیات سطحی و یا جوشکاری توسط منابع پر انرژی توسط لیزر یا پرتو الکترونی )

### اثرات حرکت سریع میدان دمایی

سرعت پیش روی فصل مشترک بزرگتر از سرعت نفوذ در یک فاصله بین اتمی می‌باشد و تعادل موضعی فصل مشترک جامد - مذاب از بین می‌رود. زمان برای منظم شدن اتمها در فصل مشترک ، به منظور کاهش شیب پتانسیل شیمیایی وجود نخواهد داشت. ترکیب جامد مشابه ترکیب مذاب شکل خواهد گرفت .

## آلیاژهای حاصل از انجماد سریع

جالب ترین کاربرد انجماد سریع ، ایجاد فازهای آلیاژی جدید است . فازهای جدید به سه دسته تقسیم بندی می شوند :

### ۱- محلول های جامد فوق اشباع :

نرخ کوئنچ بالا ، جوانه زنی و رشد فاز جامد ثانویه را به تاخیر می اندازد . اتم های محلول با غلظت بالاتر از حد تعادل ، در فاز جامد مادر باقی مانده و افزایش حد حلایت و گستره همگن را در پی دارد (Cu-Ag).

### ۲- فازهای کریستالی غیر تعادلی :

در این حالت فازهای کریستالی تشکیل می شوند که تحت شرایط تعادلی به وجود نمی آیند (Au-Te).

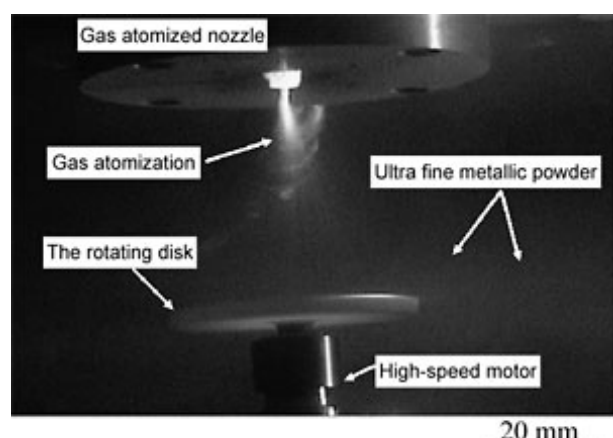
۳- فازهای آمورف :

اگر شرایط خاص سینتیکی و ساختاری برقرار شود ، کوئنچ سریع مایع ، بخار و محلول باعث حذف فرآیند تبلور می شود . ساختار بدست آمده هیچ گونه نظم پر دامنه را نشان نمی دهد .

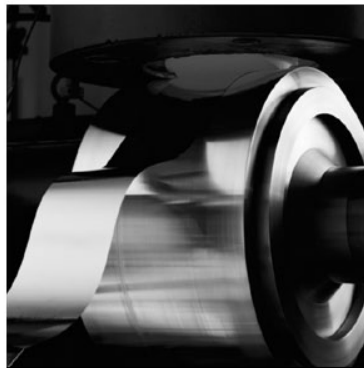
## تکنیک های انجماد سریع

تولید محصولات انجماد سریع به دو روش زیر محدود می شوند :

### - روش پودری ( Atomization )



## - روش نواری ( Thin-Strip )



## (Atomization) روش پودری

این روش به صورتهای زیر انجام پذیر می باشد :

۱ . اتمیزاسیون گازی

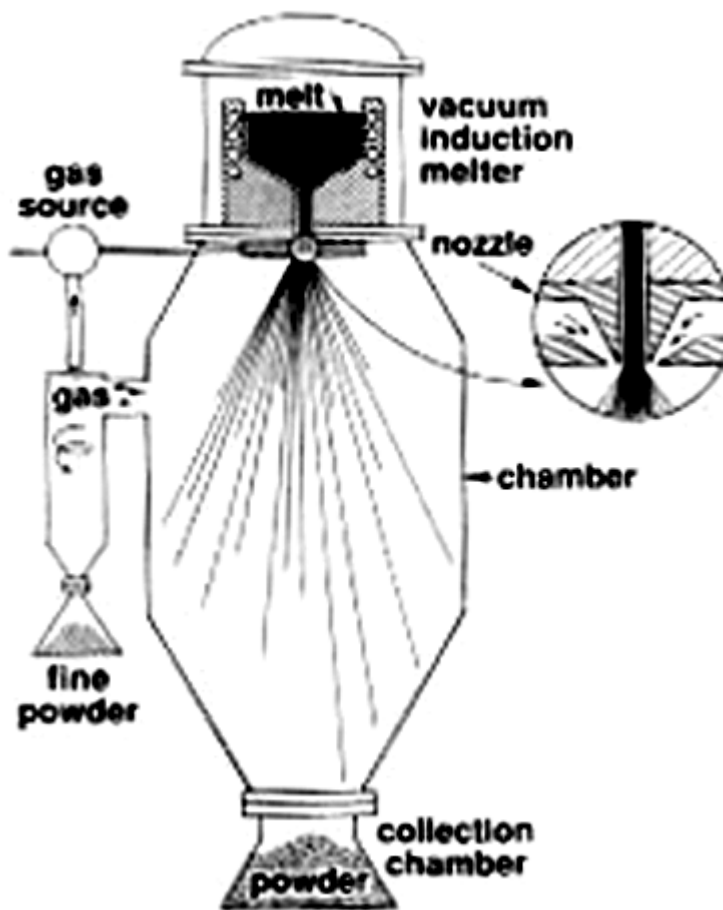
۲ . اتمیزاسیون گریز از مرکز

۳ . اتمیزاسیون الکترود چرخنده

۴ . اتمیزاسیون گازی - انحلالی

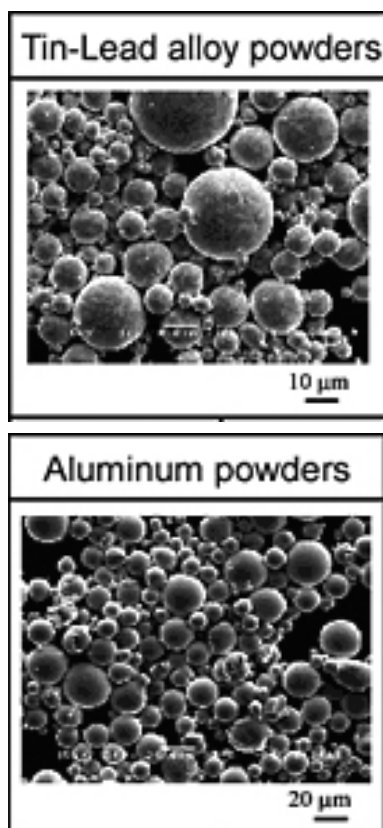
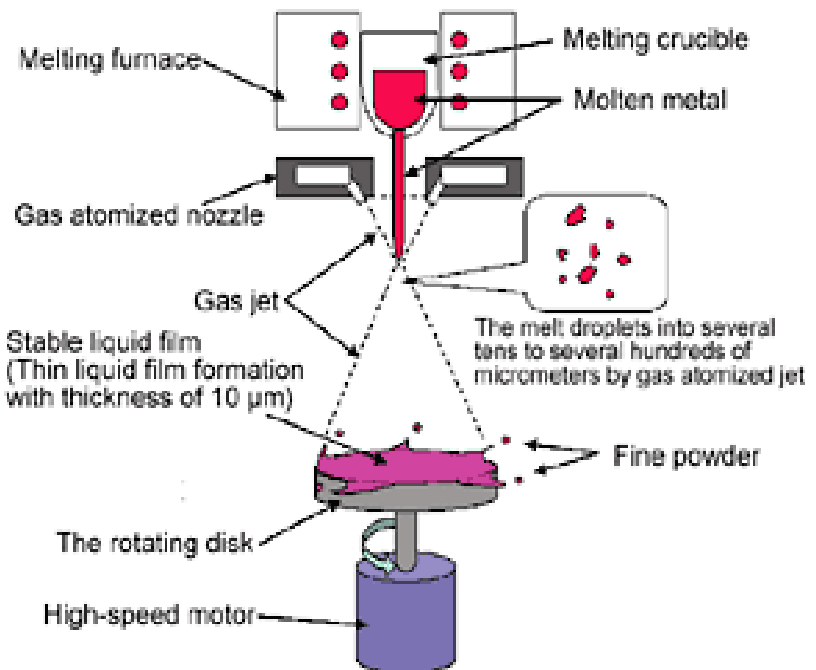
## اتمیزاسیون گازی Gas Atomization

گاز ، آب یا امواج آلتراسونیک با سرعت زیاد به جریان مذاب برخورد کرده و آن را به قطرات کوچکی تبدیل می کند . انتقال حرارت در این روش به صورت همرفتی و تابش رخ میدهد . سرعت سرد شدن به اندازه ذرات بستگی دارد و در روش گازی یا آبی ، گستره سرد شدن ۱۰۰۰ تا ۱۰۰ درجه سانتیگراد بر ثانیه و در روش آلتراسونیک یک میلیون درجه سانتی گراد بر ثانیه میباشد .

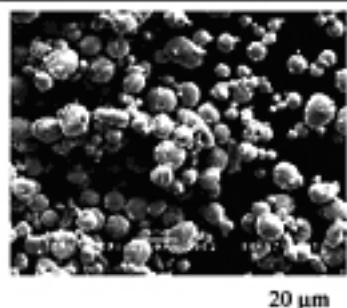


### اتمیزاسیون گریز از مرکز Centrifugal Atomization

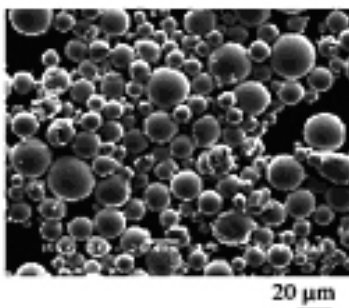
برخورد جریان مذاب به سطح دیسک چرخان ، باعث تبدیل مذاب به قطرات بسیار ریز می شود. انجماد هنگام پرتاپ شدن ذرات مذاب اتفاق می افتد و با دمش گاز هلیم ، انجماد با سرعت بیشتری صورت می پذیرد. ذرات عموماً کروی هستند. اندازه متوسط ذرات با افزایش سرعت دیسک کاهش می یابد. سرعت انجماد در حدود صد هزار درجه سانتیگراد بر ثانیه می باشد.



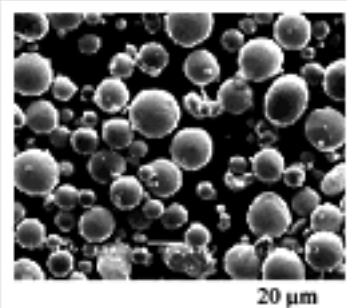
Tin-Zinc alloy powders



Aluminum powders



Copper powders



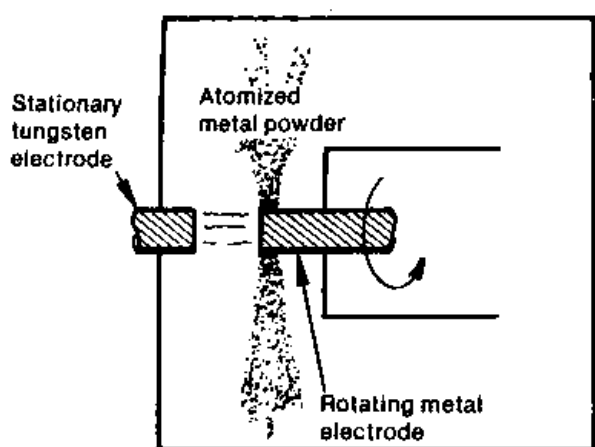
## اتمیزاسیون الکترود چرخنده A.

نمونه ای که می تواند در این روش مورد استفاده قرار گیرد باید به صورت میله استوانه ای باشد .

عامل ذوب ، قوس الکتریکی به وسیله الکترود تنگستن میباشد .

چرخش نمونه باعث اتمی شدن مذاب می شود و به وسیله جریان گاز انجماد صورت می گیرد .

سرعت انجماد در حدود ۱۰ درجه سانتیگراد بر ثانیه می باشد .

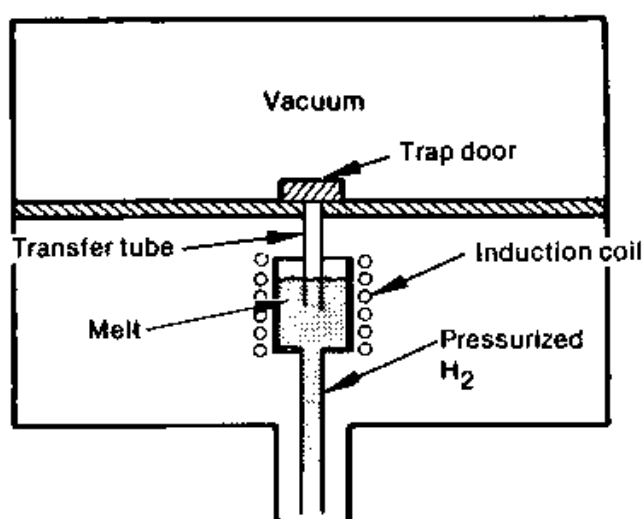


## اتمیزاسیون گازی اتحالی A.

در این روش مذاب فوق اشباع از یک طرف تحت فشار هیدروژن و از طرف دیگر مواجه با خلاء می باشد .

خلاء باعث تبخیر و اتمی شدن مذاب می شود . انتقال حرارت تنها به صورت تابش رخ می دهد . سرعت

انجماد ۱۰۰ درجه سانتیگراد بر ثانیه می باشد .



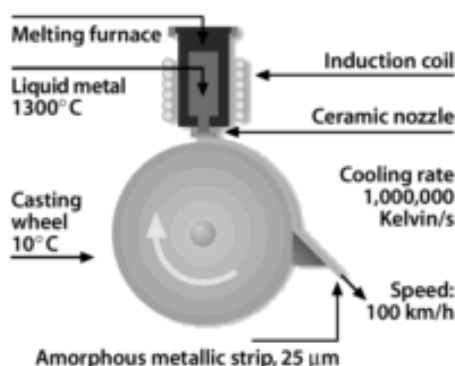
## روش نواری (Thin-Strip)

این روش به صورت های زیر انجام می شود :

- روش چرخشی Melt Spining
- روش دو گلتکی Twin Roller Quenching
- روش قطره معلق Pendant Drop
- روش استخراج مذاب Melt Extraction

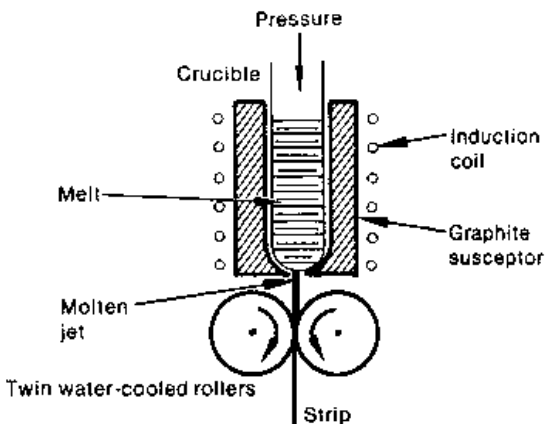
## روش چرخشی Melt Spining

در این روش مذاب بر روی یک سطح فلزی به شکل استوانه در حال چرخش برخورد کرده و به صورت ورقه ای منجمد می شود . سرعت سرد شدن در حدود یک میلیون درجه سانتیگراد بر ثانیه است .



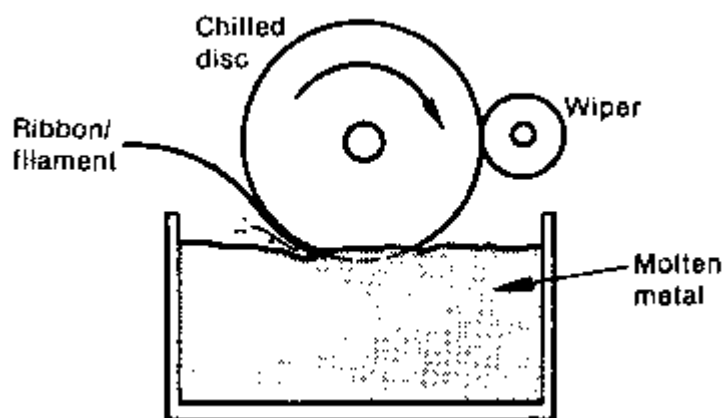
## روش دو گلتکی Twin Roller

با ریزش مذاب بین دو گلتک در حال چرخش ، مذاب از دو سمت سرد می شود . در این روش ذرات ساختار یکنواخت تری دارند . نرخ سرد شدن بیش از یک میلیون درجه سانتیگراد بر ثانیه میباشد . شکل ذرات شدیداً به اندازه و محل ورود بین گلتک ها بستگی دارد .



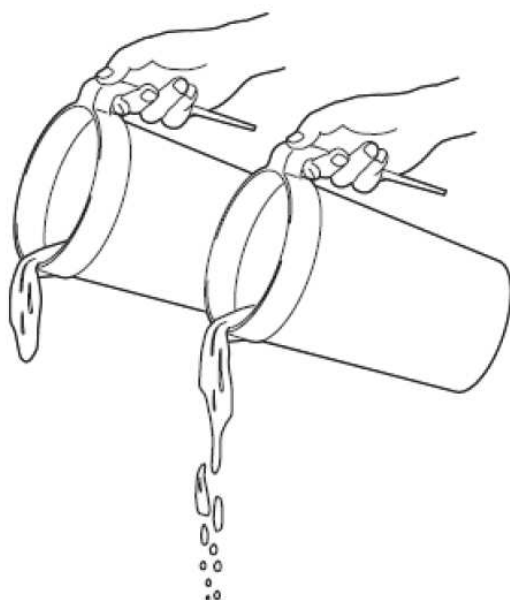
### روش استخراج مذاب

در این روش دیسک مدور به مقدار بسیار کم در سطح مذاب فرو رفته و باعث پرتاب شدن مذاب به بیرون می شود. ضخامت ورقه های تولیدی و سرعت سرد شدن ، شدیداً به سرعت چرخش دیسک وابسته است. سرعت سرد شدن از ده هزار تا یک میلیون درجه سانتیگراد بر ثانیه می باشد. در صورت لبه دار بودن دیسک ، محصول به صورت پودری به دست می آید .



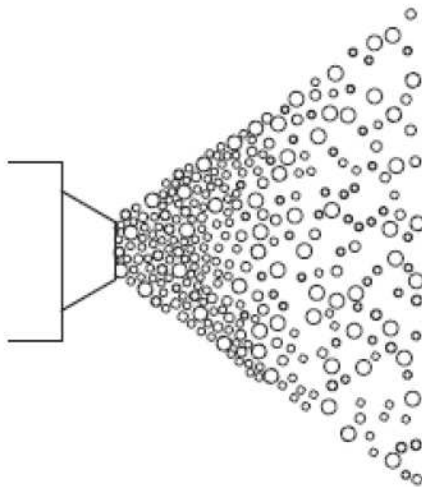
## مقدمه ای بر اتمیزه شدن

اتمیزه شدن یا اتمایزینگ به فرایند تجزیه مایع یا مذاب به قطرات کوچک اشاره دارد. یک مثال کلاسیک از اتمیزه شدن، رویداد طبیعی ریزش مایع از یک ظرف است. وقتی شما مایع را میریزید و ظرف را به تدریج بالا میریزید، جریان مایع باریک میشود و به قطرات کوچکی در همان نقطه شکسته میشود. این تجزیه مایع مثال ساده‌ای از اتمیزه شدن است که در شکل زیر نشان داده شده است.



اتمیزه شدن یک جریان مایع

اسپری مجموعه‌ای از حرکت قطرات کوچکی هستند که معمولاً نتیجه اتمیزه شدن هستند. در شکل زیر نمایشی از اسپری کردن یک تفنگ را میبینید. قابل توجه است که قطرات کوچک موجود در اسپری دارای اندازه‌های متفاوتی هستند.



### جريانی از اسپری با تنوع اندازه ذرات

یک قطره در واقع یک ذره کوچک از مایع است که یک شکل تقریباً کروی دارد. دلیل اینکه ذرات گرد هستند، کشش سطحی مایع است. برای یاداوری باید گفت کشش سطحی ویژگی مایع است که باعث ایجاد قطرات و حبابهای صابونی می‌شود تا یکدیگر را به صورت کروی بکشند و از پهن شدن ذرات روی سطح جلوگیری می‌کنند. این ویژگی باعث می‌شود که پیوندهای مایع ناپایدار باشند به طوری که به قطرات کوچک تجزیه یا اتمیزه شوند. وقتی دمای مایع افزایش می‌یابد کشش سطحی کم می‌شود.

### عوامل موثر بر اسپری کردن

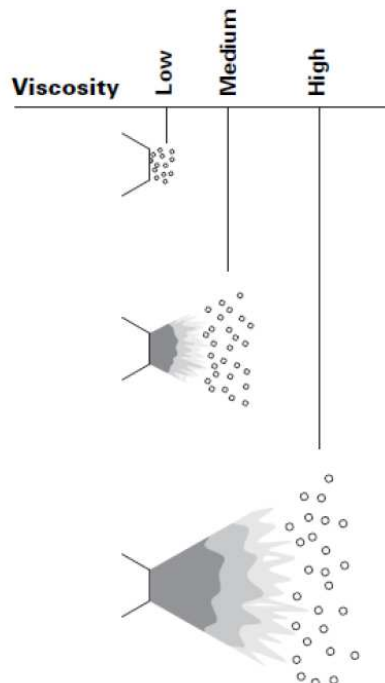
فاکتورهای مختلفی بر روی اندازه ذرات و اینکه چگونه مایع بعد از بیرون آمدن از یک دهانه اتمیزه می‌شود تاثیر دارند که مهمترین آنها کشش سطحی، ویسکوزیته و دانسیته است.

### کشش سطحی

کشش سطحی تمایل به پایداری یک مایع را دارد و از تجزیه به قطرات کوچک جلوگیری می‌کند.

## ویسکوزیته

ویسکوزیته اثری مشابه با کشش سطحی روی اندازه قطرات دارد. ویسکوزیته باعث میشود که مایع در برابر تلاطم و سرخوردن لایه های مایع روی هم مقاومت کند و تمایل کمتری به تجزیه شدن از خود نشان بدهد. در نتیجه هر چه ویسکوزیته بالاتر باشد متوسط اندازه ذرات بزرگتر میشود.



## دانسیته

دانسیته باعث میشود که مایع در برابر شتاب مقاومت کند. مشابه با ویژگیهای کشش سطحی و ویسکوزیته، دانسیته بزرگتر را هم تمایل به ایجاد متوسط ذرات بزرگ را دارد.

## بررسی هایی روی اتمیزه کردن مذاب با گاز و به مایع تبدیل کردن گاز از طریق تبرید:

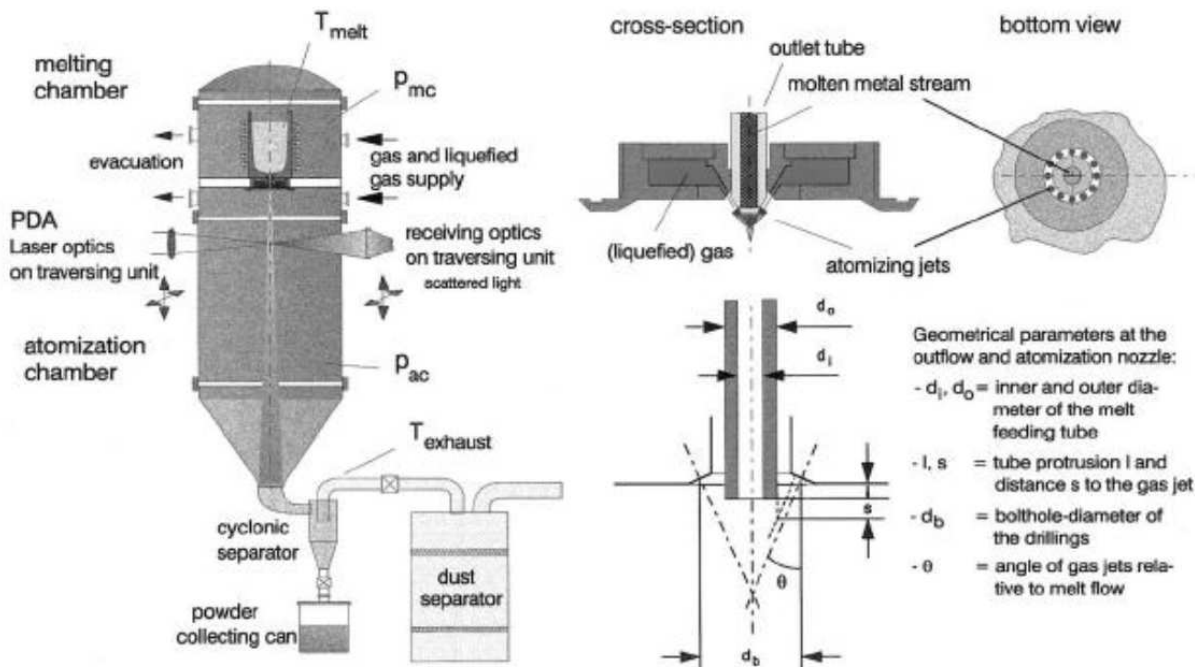
کاربرد مدرن پودر و تکنیک های فرایند نیاز به کیفیت های پودری بسیار مخصوصی دارد که ممکن است مرتبط با ریز ساختار، مورفولوژی یا خلوص باشد. مهم ترین جنبه‌ی کیفی، اغلب اندازه ذرات توصیف می‌شود.

اندازه ذرت (و شکل ذره) یکی از پارامترهای اساسی در تکنیک زینترینگ است و یک پارامتر قاطع برای تکنیک های جدیدتر مثل قالبگیری تزریقی فلز metal injection molding یا thermal spraying برای فرایندهای اسپری کردن حرارتی (sintering/rapid prototyping processes using powder) با استفاده از پودر، اندازه ذره تحت تاثیر پارامترهای مهمی مثل سرعت های رسوبگذاری، اندازه‌ی ذره‌ی دوباره ذوب شده و کیفیت سطح ته نشین قرار دارد. تنها نمونه‌های کمی از میدان وسیعی از کاربردها در تکنولوژی فرایند پودری وجود دارد. بنابراین پودرهای مورد نیاز یک رنج وسیعی از اندازه ذرات را می‌پوشانند اما وابسته به کاربرد مخصوص اغلب فقط یک اندازه‌ی محدودی برای آن گفته می‌شود. در نتیجه کنترل و تنظیم توزیع اندازه ذرات یکی از مهمترین اهداف در طول اتمیزه کردن مذاب است.

## دستگاه اتمیزه کردن و اساس فرایند:

دو تا واحد دستگاه اتمیزه کردن با گاز خنثی (inert GA) برای آزمایشات ATZ-EVUS در LGA (gas atomization) و (liquid gas atomization) واحد خروجی یکسان است (شکل ۱). اختلاف های اصلی، اندازه و ظرفیت های مذاب است (واحد آزمایشگاه بالای ۳۰ kg و واحد پایلوت ۱۰۰ kg برای هر بچ). واحدها مجهز به سیستم های تحویل گاز و گاز مایع هستند که فشارهای اتمیزه شده‌ی بالای ۱۰۰ بار (گاز) و ۲۵۰ بار (گاز مایع) را اجازه می‌دهند. پارامترهای مهم فرایند مثل فشار اتمیزه شدن، دمای بسیار بالای ذوب و فشار محفظه اندازه گیری می‌شود و مستقیم به وسیله‌ی کامپیوتر که اطلاعات کسب شده را کنترل می‌کند، ثبت می‌شود. مصرف گاز به ترتیب به

وسیله‌ی قطع فشار انبار گاز و اندازه گیری‌ها تعیین می‌شود. سرعت‌های سیلان مذاب نمی‌تواند مستقیماً اندازه گیری شود. سرعت‌های جریان مذاب در ابتدا به وسیله‌ی تغییرات قطرهای خارجی در محدوده‌ای از ۱/۷ تا بالای ۴mm در بررسی‌های حاضر از پیش تنظیم می‌شود. ذوب شمش به وسیله‌ی گرمای القایی انجام می‌شود. بوته‌ی گرمای القایی آزمایشگاهی مستقیماً واقع شده بالای آرایش نازل خروجی ثابت است (شکل ۱). ته خروجی بوته به وسیله‌ی یک در پوش میله‌ای بسته می‌شود که برداشته می‌شود تا جریان مذاب شروع شود. بنابراین بوته و تاندیش یکی هستند، در حالی که در واحد صنعتی پایلوت این‌ها بخش‌های جدا از هم هستند. در این مورد یک تاندیش مقاومت به گرما با یک خروجی ته باز بالای نازل قرار گرفته‌اند و به وسیله‌ی نوسان کردن سیم پیچی القایی که بوته را در بر می‌گیرد، پر شده‌اند. به وسیله‌ی کنترل سرعت پاشش مذاب، تقریباً یک سطح ثابتی از مذاب کنار تاندیش به دست می‌آید که بنابراین در یک فشار metallo-static شرایط پایداری بیشتر در طول اتمیزه شدن نتیجه می‌شود. مذاب به یک دمای بسیار گرم معین می‌رسد  $T_S$  (نوعاً  $100\text{--}200^{\circ}\text{C}$  بالای دمای مذاب  $T_m$ )، به این دلیل که یک ریزش بدون مشکل از میان لوله‌ی تغذیه (خروچی) ایجاد کند. کنترل گرمای مذاب به وسیله‌ی دوره‌های سیکل گرم کردن و سرد کردن انجام می‌شود. این باعث می‌شود تا دمای نوسانات در طول اتمیزه شدن در رنج تقریباً  $20^{\circ}\text{C} \pm T_S$  باشد. روند گاز و مایع کردن GA با راه‌های تقریباً یکسانی به ترتیب از طریق شروع جریان مذاب بسیار گرم همزمان با جریان گاز و بعد سیستم سرد کردن تا دماهای سرمایی برای LGA در طول آزمایشات حاضر به کار برده می‌شود. ذرات اتمیزه شده خنک شده و قبل از عبور از جداکننده‌ی چرخشی منجمد می‌شود و در یک جمع کننده‌ی پودر ته نشین می‌شوند. سیال اتمیزه سیستم را از طریق یک جداکننده‌ی گرد و غبار و فیلترها رها می‌کند. یک مکننده‌ی قدرت بالا، فشارهای زیر اتمسفری (sub-atmospheric) را در کنار محفظه‌ی اتمیزه در طول GA به دست می‌آورد.

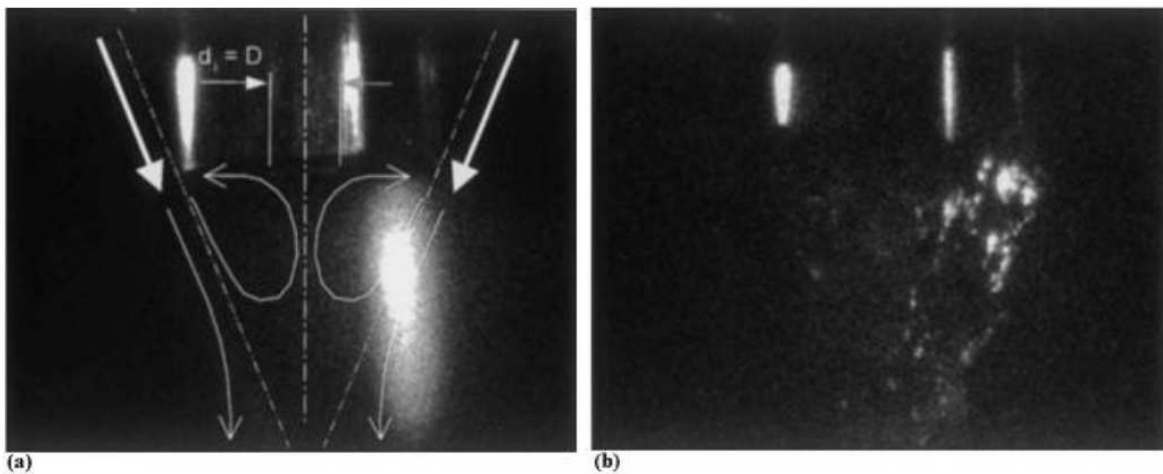


شماتیک نشان داد شده ای از واحد آزمایشگاهی اتمیزه شدن مجهز به PDA (طرف چپ) با سطح مقطع و نگاه ته نازل اتمیزه شدن محدود (راست بالا) و شرح خلاصه ای از نازل (راست پایین) که موقعیت هندسی اصلی ریزش را نشان می دهد.

یک شماتیکی از حوزه‌ی جریان گاز پیرامون خروجی لوله‌ی تغذیه‌ی مذاب در شکل (a) نشان داده شده است. یک ناحیه‌ی جریان گردشی متناوب درون مخروط جت گازی وجود دارد که مذاب را با لبه‌ی لوله برخورد می دهد که مذاب به سمت خارج کنده می شود و اتمیزه می شود (شکل (b)).

: (Phase-Doppler Anenometry) PDA

یک تکنیک تداخل سنجی نوری برای اندازه گیری همزمان اندازه ذرات و سرعت است. این تکنیک استفاده شده اثر دوپلر را برای سرعت و اختلاف فاز (تغییر زاویه‌ی فاز) به جهت اطلاعات اندازه از نور پراکنده شده ای که به وسیله‌ی یک ذره ای که از میان یک حجم اندازه گیری شده تولید می شود، عبور می کند.



شماتیک نشان داده شده از (a) حوزه‌ی جریان گاز پیرامون خروجی لوله و (b) مطابق با عکس سرعت بالا از شکسته شدن مذاب در لوله‌ی خارجی.

#### نازل‌های اتمیزه شدن:

نازل‌های اتمیزه شدن که برای آزمایشات حاضر استفاده می‌شود، به نوع چند جتی منحصر هستند (شکل ۱)، یعنی گاز (مایع شده) از سوراخ‌هایی که به طور هم محور آرایش یافته‌اند و بسیار نزدیک به خروجی مذاب هستند، خارج می‌شود، بنابراین اندازه حرکت بالایی هنگام برخورد به مذاب به دست می‌آید. مذاب مستقیماً در لوله‌ی تغذیه‌ی مذاب اتمیزه می‌شود. پارامترهای ابعادی نازل‌های نازل شدن مورد استفاده در جدول ۱ لیست شده است. برای آزمایش‌های LGA که در فشارهای پایین (LP) ۲۰ کار انجام می‌شود، یک نازل با یک بخش خروجی نسبتاً بزرگ باید استفاده شود، به این دلیل که یک سرعت جریان جرم مخصوصی از گاز مایع شده را حفظ کند که وقتی که سیستم به طور صحیحی خنک می‌شود همانند یک سیال غیرقابل تراکم رفتار می‌کند.

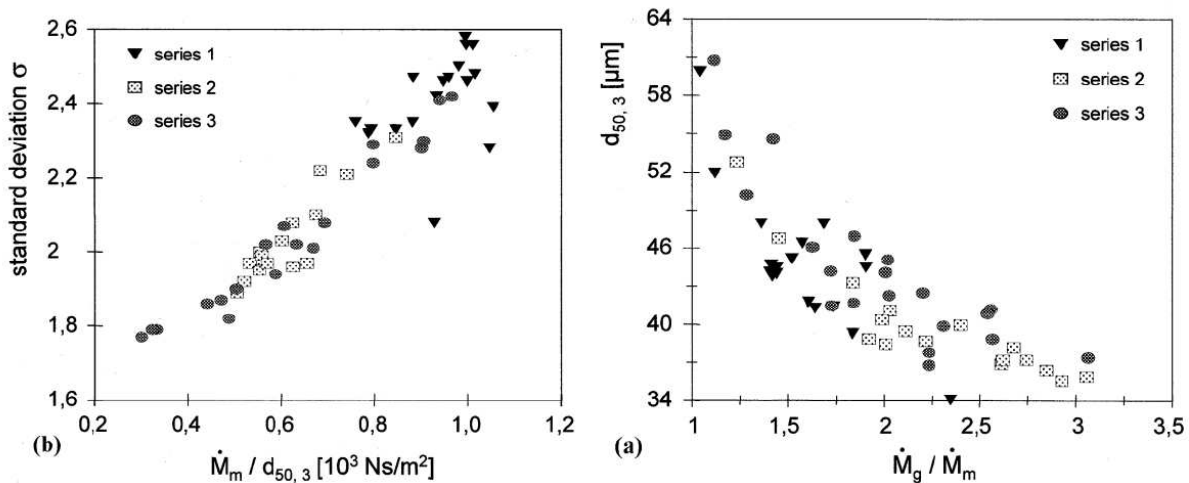
برای گاز تراکم پذیر تحت شرایط از قبل معین شده در فشارهای گازی کاربردی پایین، یک نسبت فشار بحرانی بیرونی- داخلی نازل ( $N_2 / P_0 / P_i = 0.528$ ) برای هوا یا  $P_i$  به دست آمد که گاز با سرعت صوت خارج می‌شود. به علاوه فشار افزایش یافته‌ی  $P_i$  سرعت سیال گاز را بالا می‌برد، اما سرعت خروج گاز را تغییر

نمی دهد. اما با افزایش فشار ( $P_i$ ),  $P_0$  در خروج به طور همزمان افزایش می یابد و گاز به یک موقعیت تحت انبساط زیاد می رسد. انبساط بعدی گاز باعث ساختار پیچیده ای از موج های ضربه ای با برخوردهای فشاری و انبساطی درون جت می شود که گاز به طور دوره ای با سرعت صوت شتاب داده می شود و دوباره آهسته به طرف پایین می آید. به طور موضعی، میتوان گفت که شرایط مافوق صوت می تواند ایجاد شود. ناحیه ای موج ضربه ای به وسیله ای نوع نازل کاربردی محدود می شود و ناحیه ای برخورد با مذاب توسعه می یابد. این یک ویژگی نوعی از این نوع آرایش نازل است که جت های با سرعت بالای گاز مکشی را در لوله تغذیه ای مذاب تولید می کند. یک فشار منفی می تواند در ورودی مذاب اندازه گیری شود که به وسیله ای هندسه ای لوله و موقعیت نسبی آن با جت های گازی و به علاوه یک تابعی از فشار اتمیزه کردن تعیین می شود. به طور عادی فشار منفی شدیدی استفاده می شود تا موقعیت لوله ای خروجی تنظیم شود تا یک جریان مذاب بدون مشکلی تأمین شود. همراه با قطر خروجی لوله ای تغذیه ای مذاب، شرایط فشار در لوله ای خروجی به میزان زیادی روی جریان مذاب مؤثر است و برای این که یک انتخاب اولیه ای از سرعت جریان مذاب نیز ایجاد کند، استفاده می شود. به هر حال دقت موقعیت نازل، حضور مذاب و نوسانات فشار درون محفظه ای اتمیزه کردن در طول یک دور (مسیر) می تواند موقعیت روزنه‌ی (سوراخ) لوله‌ی مذاب را به طور نمایشی تغییر دهد.

### اتمیزه کردن گازی

فشار اتمیزه شدن، سرعت جریان گاز را تعیین می کند و شرایط سرعت (اولیه) در بخش اتمیزه شدن را نشان می دهد. بنابراین این مهم ترین تغییر پارامتر است که روی عملکرد اتمیزه شدن اثر می گذارد. چون سرعت جریان مذاب همزمان تغییر می کند، وابستگی برایند اندازه ذرات به شرایط فرایند نمی تواند صرفاً به وسیله ای فشار کاربردی شرح داده شود. اما کاملاً به عنوان تابعی از نسبت سرعت جریان جرم ( $M_g^0/M_m^0$ ) وسیله ای فشار کاربردی مذاب بیان می شود. دیاگرام ها در شکل زیر نتایجی از بیشتر از ۵۰ دور از اتمیزه شدن آلیاژ Al-Cu گاز/مذاب بیان می شود. دیاگرام ها در شکل زیر نتایجی از بیشتر از ۵۰ دور از اتمیزه شدن آلیاژ Al-Cu است که با سه سری مختلف انجام می شود. قطرهای خروجی مذاب مساوی بودند، پیش رفتگی لوله و دمای خیلی بالای مذاب درون محدوده تقریبی  $\Delta T_s = \pm 20K$  و  $\Delta L = \pm 0, 15mm$  ثابت نگه داشته می شود.

همان طور که پیش بینی می شود، میانگین اندازه ای ذرات جرمی به طور پیوسته با افزایش سرعت سیال جرمی گاز / مذاب از  $60 \mu\text{m}$  در  $M^0_{\text{g}}/M^0_{\text{m}} \sim 1$  به پایین تر از  $35 \mu\text{m}$  در  $M^0_{\text{g}}/M^0_{\text{m}} \sim 3$  کاهش می یابد (شکل(a)). در مقایسه، عرض های توزیع اندازه که به وسیله ای نسبت  $\sigma = d_{84}/d_{50}$  بیان می شود، فقط یک وابستگی ضعیف به فشار اتمیزه شدن کاربردی یعنی به  $M^0_{\text{g}}$  را نشان می دهد و می تواند مرتبط با سرعت جریان مذاب موجود باشد. وقتی که قطر میانگین جرمی در محاسبات در فرم  $M^0_{\text{m}}/d_{50}$  باشد، ارتباط بهتری به دست می آید (شکل(b)).



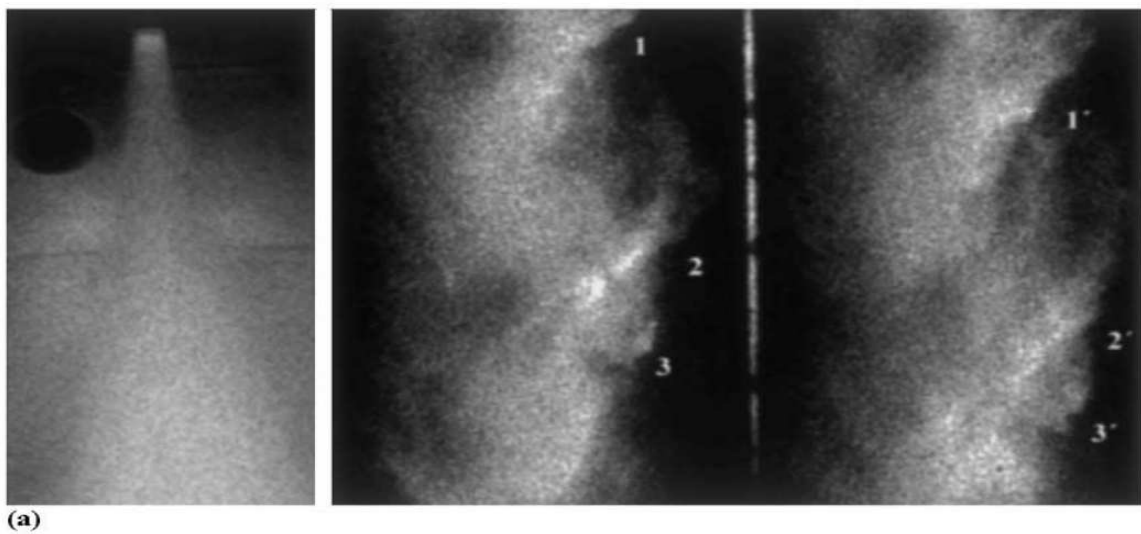
پارامترهای میانگین  $d_{50,3}$  جرمی به عنوان تابعی از نسبت جریان جرمی مذاب/جامد (a) و انحراف استاندارد ( $\sigma$ ) به عنوان تابعی از نسبت سرعت جریان جرمی و اندازه ای ذره ای متوسط (b) برای گاز نیتروژن که پودر آلیاژ CuAl را اتمیزه می کند.

## مایع شدن گاز تبریدی اتمیزه شدن گازی

در این روش، مایع شدن گازهای تبریدی (LGA) را میتوان با نازل های محدودی شبیه به GA انجام داد. برای مقایسه و برای اینکه ذرات اتمیزه شده ریز باشند فشار اتمیزه شدن بالاتری نسبت به آنچه که در استفاده شده است، به کار بردہ می شود، چرا که مایع سرمایا به طور عمده یک سیال تراکم پذیر است

و نسبت به گاز تحت همان فشار با سرعتی کمتری خارج می شود. به هر حال گاز مایع شده ای که از نازل خارج می شود، منبسط میشود، چون انتقال گرما به اطراف همیشه اتفاق می افتد.

به دلیل اثرات انبساطی، سرعت های بالای گاز مایع شده را میتوان به وسیله‌ی PDA در فشارهای اتمیزه شدن ۲۰ بار اندازه گیری کرد. بالاترین سرعت در مرکز جت در یک فاصله‌ی  $100\text{--}120\text{ mm}$  از نازل خروجی در  $212\text{ m/s}$  ثبت شده است که چهار مرتبه بیشتر از سرعت مورد انتظار از محاسبات ساده براساس فشار واقعی و روزنہ‌ی نازل اتمیزه شدن می باشد. حرکت دادن حجم اندازه گیری شده‌ی PDA درون نواحی خروجی جت، سرعت های قطرات کوچک را تا رنج بین تقریبا  $20\text{--}60\text{ m/s}$  در یک فاصله‌ی  $18\text{ mm}$  از مرکز اسپری کاهش می دهد. حدس تصاویر سرعت بالای موفق، سرعت‌هایی را در ناحیه‌ی خارجی اسپری از  $130\text{ m/s}$  تا بالای  $40\text{ m/s}$  می دهد (شکل (a)). در فشارهای اتمیزه شدن به کار برده شده‌ی بالاتر (۲۵۰-۱۰۰ بار) اسپری قطرات کوچک گاز مایع شده، بسیار چگال می‌شود به طوری که نه اندازه گیری های PDA و نه سرعت بالای تصویرگیری، نتایج معقولی را برای تعیین سرعت های اسپری کردن به دست نمیدهد



(a) فتوگرافی از جت گاز مایع شده که مذاب با ۲۰۰ بار را اتمیزه می کند (چپ) و سپس تصاویر سرعت بالای (راست) یک جریان، فشار پایین جت گاز مایع شده در ۱۴ بار را ثبت می کند.

(b) مقدار سرعت های ارزیابی شده به صورت  $10.3 \text{ m/s}$ ,  $12.2 \text{ m/s}$ ,  $13.4 \text{ m/s}$ ,  $(1-1)$ ,  $(2-2)$ ,  $(3-3)$  اندازه های ذره با میانگین جرمی به عنوان تابعی از نسبت سرعت جريان جرمی گاز/مذاب برای گاز مایع شده که مس، NdFeB و آلیاژ قلع را اتمیزه می کند. (منحنی بالایی تصویری از فشار پایین، منحنی پایین تر فشار بالای اتمیزه کردن، با ذکر نازل های مختلف به کار بردشده)

فشارهای اتمیزه شدن بالا، تأثیر اثرات انبساط را به دلیل سرعت های جريان جرمی بالاتر، مینیمم می کند، چون می تواند به طور جزئی با کاهش سرعت های قطرات کوچک اندازه گیری شده در طول PDA نشان داده شود. به هر حال فقط خروجی ترین قسمت جت می تواند به دلیل میزان بالای دانسیتهی قطرات مایع، اندازه گیری شود. بنابراین دیدن ذرات فلزی در طول LGA محدود به این بخش است که نماینده ای برای جت کامل نیست. بازدهی و ویژگی های اتمیزه شدن شبیه به آنچه که در طول GA مشاهده شده، هستند. برایند اندازه های ذره با افزایش  $M^0_{\text{g}}/\text{M}^0_{\text{m}}$  کاهش می یابد و باعث مینیمم شدن نسبت های سرعت جريان جرم در مقایسه با GA می شود. در مقایسه با این مینیمم شدن یک نتیجه ای از استفاده از ماکزیمم فشارهای گاز مایع شده است. با افزایش فشار، اتمیزه شدن باعث کاهش بیشتر اندازه های ذره و توسعه ای این تکنیک می شود.

می توان نشان داد که نسبت سرعت جريان جرمی گاز/مذاب فاکتور غالبی برای بازدهی اتمیزه شدن است. سرعت جريان جرمی روی توزیع اندازه تأثیرگذار است. بنابراین پارامترهای نام برده شده به دقت برای اتمیزه شدن بهینه تنظیم شده است. اثر ویژگی های ماده روی برایند توزیع ذره نیز اثبات شده است. تقریب اندازه ذرهی جرم میانگین به عنوان تابعی از نسبت سرعت جريان جرمی گاز / مذاب ثابت های وابسته به ماده را می دهد که برای توصیف درشت شدن ذره با افزایش ویسکوزیته های مذاب و کشش های سطحی لازم است. برای GA و سیستم نازل مورد بررسی، این ثابت با یک مینیممی از اندازه های ذرهی متوسط قابل حصول و شرایط کاری بهینه برای اتمیزه شدن ریز در مصرف گاز پایین یکسان است. به عنوان یک نتیجه، اساساً برای تولید پودرهای ریزتر سرعت سیال باید اصلاح شود. فرایندهای LGA با طراحی های نازل محدود شده شباهت زیادی دارد. در مقایسه با GA حد پایین تر اندازه های ذره ای به دست آمده، به وسیله ای فشار

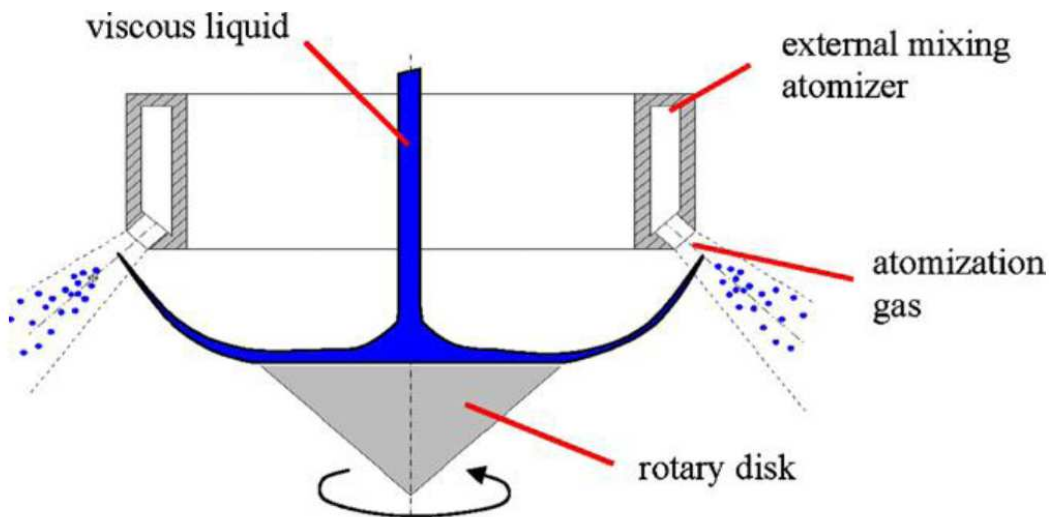
ماکزیمم به کار برده شده، تعیین شده است. سرعت های سرد کردن به دست آمده با LGA نسبت به GA بالاتر هستند.

نکته‌ی دیگر این که نتایجی از اندازه گیری‌های PDA گزارش شده تا نشان دهد که این دستگاه با ارزش برای مشخصه‌ی اسپری مذاب و کنترل خطی است.

### طراحی افشارک برای اتمیزه کردن مذاب ویسکوز:

#### افشارک (prefilming):

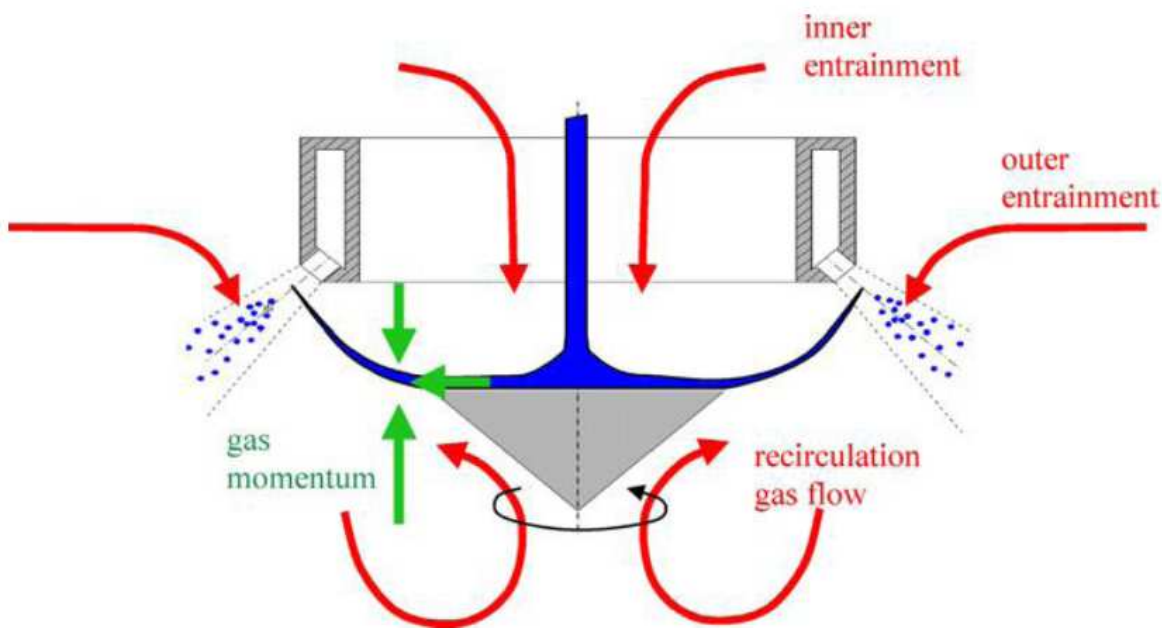
هدف از توسعه، طراحی یک افشارک برای مایعات و مذاب‌های با ویسکوزیته‌ی بالا است که اندازه قطرات کوچکی تولید کند. افشارک ترکیبی prefilming که اینجا معرفی می‌شود، ترکیبی از یک افشارک چرخشی تک سیال و یک افشارک مخلوطی خارجی با دو سیال است. مزیت این طراحی خاص این است که ماده‌ی تغذیه در ابتدا به وسیله‌ی یک دیسک چرخشی به دلیل نیروی گریز از مرکز پهن شود و به موجب آن، سطح مایع اولیه قبل از فرایند اتمیزه شدن گازی افزایش یابد. افشارک چرخشی در مدت تشکیل ورقه عمل می‌کند. به طوری که در اطراف دیسک چرخشی یک free prefilm تشکیل شده است. سپس این prefilm به درون ناحیه‌ی اتمیزه شدن افشارک مخلوط خارجی به وسیله‌ی نیروهای آیروдинامیکی ذاتی در حوزه‌ی جریان گاز هدایت می‌شود. در شکل زیر شرحی از افشارک ترکیبی prefilming را نشان می‌دهد. به منظور تأمین اتمیزه شدن پایدار، نیروهای آیروдинامیکی استفاده می‌شوند تا بدنه‌ی افشارک را از آمدن به محل تماس محافظت کند و به وسیله‌ی بخش‌هایی از مایع (مذاب) مسدود شود. یک سرعت جریان جرمی گاز به اندازه‌ی کافی کوچک درون افشارک، بدنه‌ی افشارک را محافظت می‌کند.



### شرحی از افشارنک ترکیبی prefilming

قاعده‌ی کلی سیالیت جریان گاز افشارنک ترکیبی prefilming در شکل بعد نشان داده شده است. انواع جریان موضعی مختلف نیاز به مشخصه‌ای دارد که گاز محیط (محاصره) با گاز اتمیزه شدن برخورد کند.

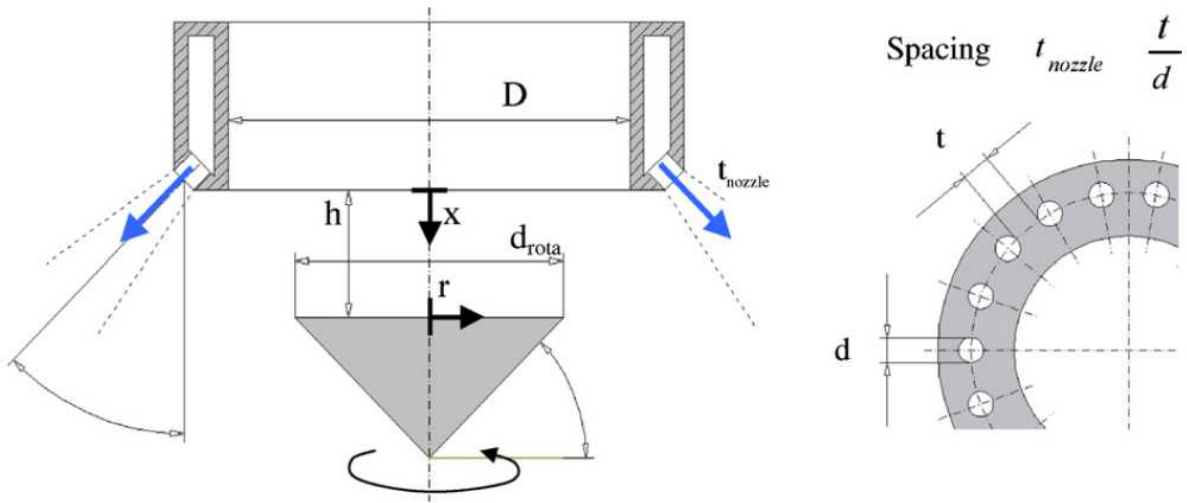
جریان آهسته‌ی (Entrainment) داخلی از طریق اتمایزر انتقال جریان مایع به بخش اتمیزه شدن می‌رسد. جریان آهسته‌ی خارجی مستقیماً به بخش اتمیزه شدن می‌رسد و جریان گاز در حال چرخش از زیر دیسک چرخی به بخش اتمیزه شدن می‌رسد. حرکت فیلم اساساً وابسته به نیروهای داخلی و آیرودینامیکی است که به وسیله‌ی توزیع اندازه حرکت جریان داخلی، اندازه حرکت جریان گاز در حال چرخش و اندازه حرکت خود فیلم ایجاد می‌شود. هدف از طراحی افشارنک ترکیبی prefilming این است تا اندازه حرکت جریان گاز در حال چرخش ماقزیم شود، در جایی که فیلم مایع نزدیک به خروج گاز انتقال یابد.



### [3]prefilming ترکیبی افشارنک

#### شبیه سازی عددی

به منظور طراحی افشارنک مناسب برای اتمیزه کردن مذاب ویسکوز از شبیه سازی عددی استفاده می شود. در شکل زیر، پارامترهای ساختمانی مورد بررسی دستگاه نشان داده شده است. هدف از شبیه سازی عددی این است که شرایطی نتیجه شود که ماکزیمم اندازه‌ی حرکت گاز روی فیلم مایع با جریان آزاد در مقابل محور اصلی جهت گاز اتمیزه شدن فعال شود. چون بالاترین اختلاف سرعت بین گاز و مایع و بنابراین کارآمدترین بخش اتمیزه شدن نزدیک به خروجی گاز اتمیزه شدن است، اندازه حرکت گاز در حال گردش باید ماکزیمم باشد تا فیلم مایع را به سمت خروجی گاز اتمیزه شدن انتقال دهد.

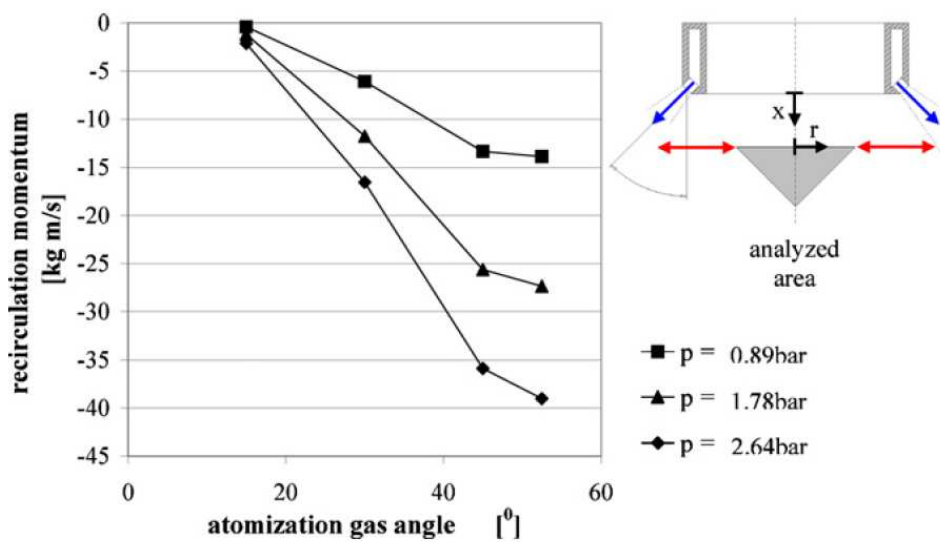


### پارامترهای سازنده‌ی مورد بررسی طراحی افشانک ترکیبی

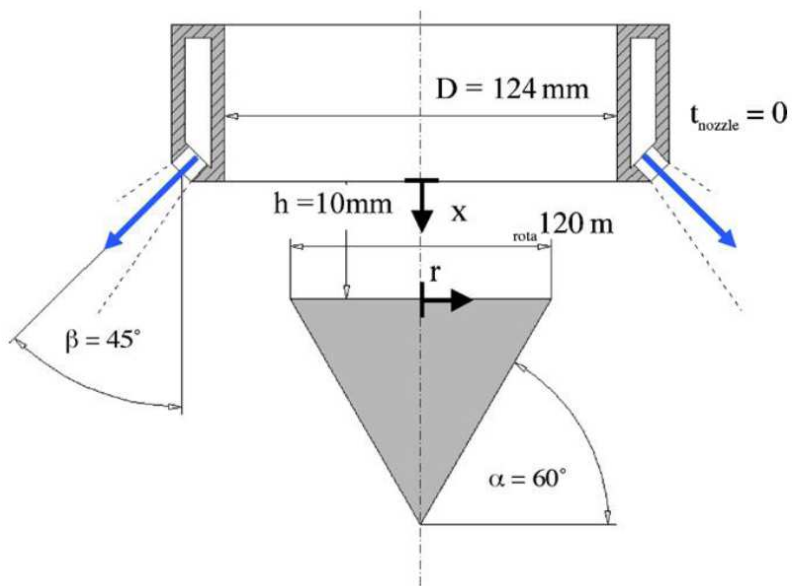
در شکل زیر (a) وابستگی اندازه حرکت در حال گردش به زاویه‌ی خروجی گاز اتمیزه شدن نشان داده شده است. در اندازه حرکت گاز گردشی با زوایای خروجی گاز بالا ۱۵°، اندازه حرکت گردشی بر واکنش غلبه دارد و با افزایش زاویه‌ی خروجی، افزایش می‌یابد. یک اندازه حرکت گردشی بالای قابل قبول در زوایای خروجی بین ۴۵° و ۵۰° اتفاق می‌افتد. بنابراین زاویه‌ی خروجی گاز اتمیزه شدن برای طراحی افشانک ترکیبی با ۴۵° تنظیم می‌شود.

در همین روش برای زاویه‌ی خروجی گاز، همه‌ی پارامترهای سازنده‌ی افشانک به طور جداگانه با تغییر آزمایش‌ها در شبیه سازی تعیین می‌شود. در شکل بعدی (b) نتیجه‌ی تنظیم پارامترهای بهینه را برای افشانک ترکیبی prefilming نشان می‌دهد. طراحی براساس اتمیزه شده مذاب‌های معدنی در یک دمای ۳۰۰ kg/h<sup>۱۸۷۳</sup> k انجام می‌شود که در آن ویسکوزیته‌ی مایع ۱ pas است. سرعت جریان جرمی مذاب

یک شیر گاز فاصله گذاری را از صفر انتخاب می‌کند. بنابراین از یک شکاف نازل به عنوان هندسه‌ی خروجی جریان گازی استفاده می‌شود.



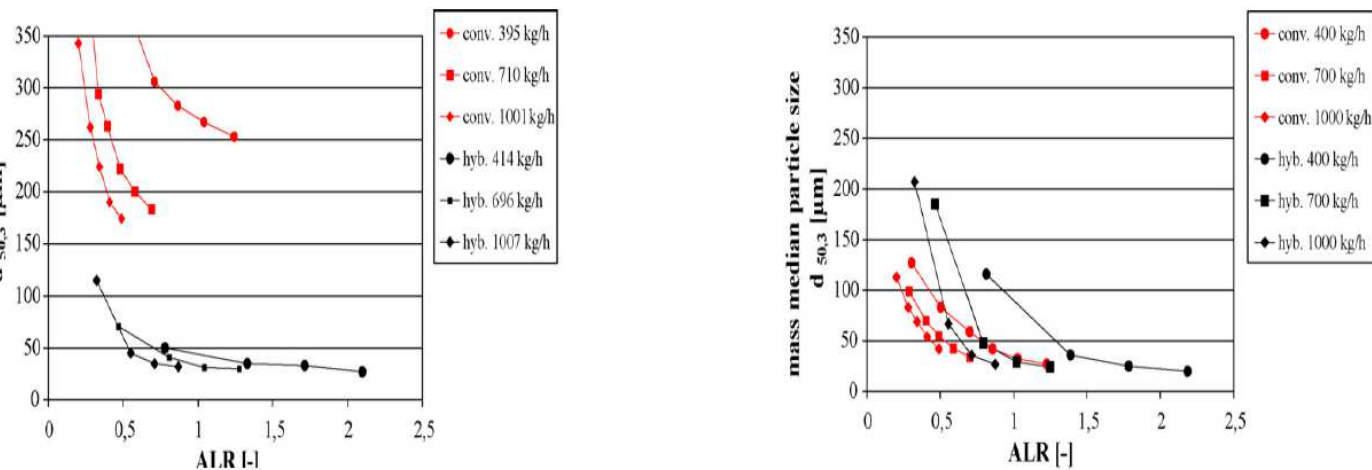
a. اندازه حرکت گردشی روی فیلم غیرسیال



b. نتیجه پارامترهای اتمیزه شدن

## آزمایشات مدل

در شکل های زیر نتایج آزمایشی اتمیزه شدن آب و گلیسیرین نشان داده شده است. اندازه ی قطرات با جرم متوسط در اسپری کردن به وسیله ی پراش لیزر در مقابل نسبت جریان جرمی هوا به مایع (ALR) رسم شده است. کارایی افشارنک ترکیبی در مقایسه با یک افشارنک سقوط آزاد (free fall) معمولی افزایش یافته است. افشارنک سقوط آزاد وسیله ی متداولی برای تولید پودر است. وقتی آب با ویسکوزیته ی پایین اتمیزه می شود (شکل a)، کارایی ترکیب پایین است. برای سرعت جریان جرمی مایع ثابت در ALR یکسان (نسبت هوا به مایع یکسان) افشارنک ترکیبی اندازه ذرات درشت تر تولید می کند. در این مورد افزایش انرژی سطحی مخصوص قبل از اتمیزه شدن سودی ندارد. افزایش انرژی سطحی فقط وقتی مفید است که ویسکوزیته افزایش یابد. شکل b نشان می دهد که در ALR ثابت، افشارنک ترکیبی، ذرات ریزتری نسبت به افشارنک متداول برای اتمیزه شدن گلیسیرین ویسکوز تولید می کند. در این مورد یک اندازه ذره با جرم متوسط کمتر از  $3\mu\text{m}$  به دست می آید.

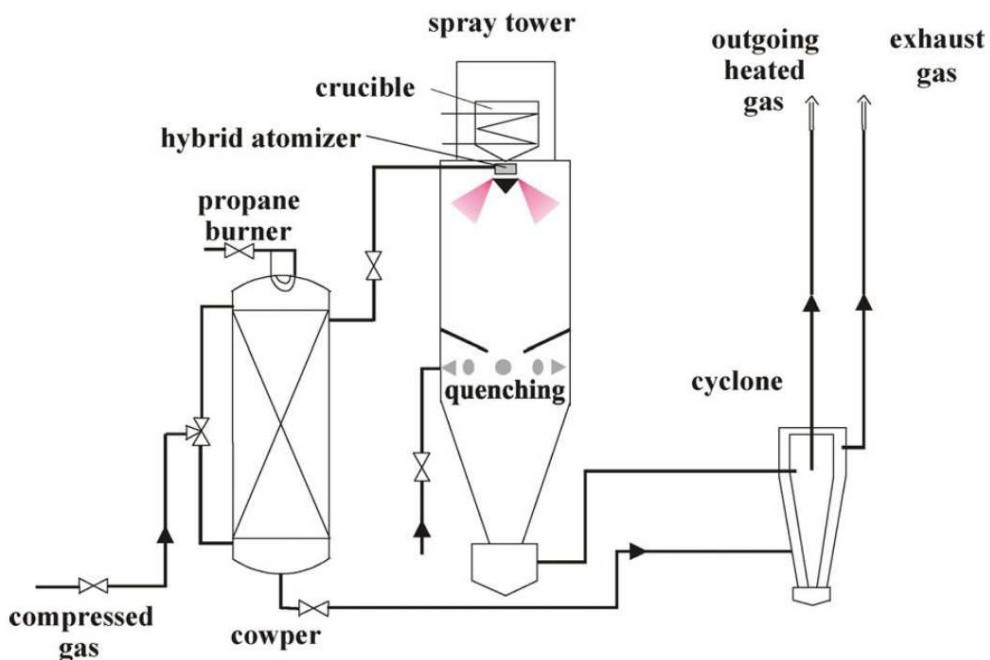


b. نتایج آزمایشی برای اتمیزه شدن گلیسیرین به وسیله ی هوا

a. نتایج آزمایشی برای اتمیزه شدن آب به وسیله ی هوا

## آزمایشات مذاب

برای اتمیزه شدن مذاب های ویسکوز به وسیله‌ی روش افشارنک ترکیبی، یک واحد صنعتی برای اتمیزه شدن گاز به کار گرفته شده است. ترتیب آن در شکل زیر نشان داده شده است. بخش اصلی واحد صنعتی، یک برج اسپری است (حدود  $5/5\text{m}$  ارتفاع). روی برج اسپری ماده به وسیله‌ی یک دستگاه گرمکن القایی ذوب می‌شود. وقتی ماده اتمیزه می‌شود، از سرباره‌ی کوره بلند برای آزمایشات استفاده می‌گردد. دمای مذاب قبل از اتمیزه شدن در  $1813\text{K}$  تا  $1843\text{K}$  با یک دمای متوسط  $1826\text{K}$  اندازه گیری شده است. در میان عمق بوته‌ی ریخته گری مذاب به دلیل گرانش در سرعت‌های جريان جرمی مذاب بالای  $200\text{kg/h}$

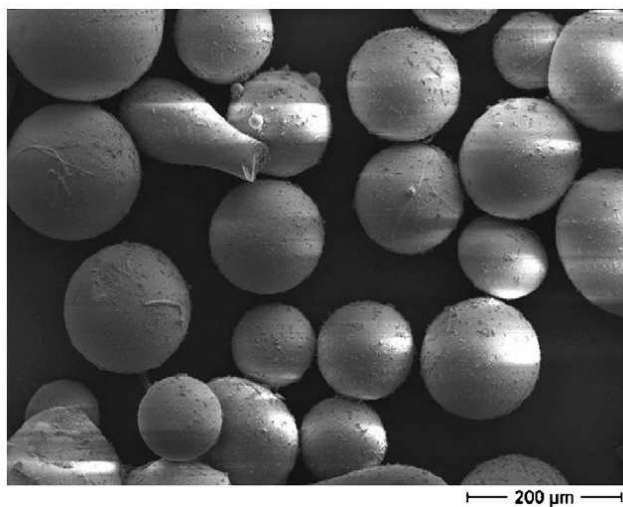


### انجام تجربی واحد صنعتی اتمیزه شدن گاز گرم و نازل اتمیزه شدن

به بیرون جریان می‌یابد. افشارنک ترکیبی در زیر بوته قرار می‌گیرد که با استفاده از گاز گرم شده عمل می‌کند. دماهای گاز بالای  $1273\text{K}$  و فشار گاز بالای  $2\text{bar}$  در داخل آزمایش‌های اتمیزه کردن ترکیبی پی برده شده است. گاز گرم به وسیله‌ی مبدل حرارتی ناپیوسته (cowper) تولید می‌شود. ماده‌ی بالک سرامیکی داخل cowper به وسیله‌ی یک کوره‌ی پروپانی گرم می‌شود. بعد از این فرایندهای گرم شدن، گاز

یا بخار کمپرس شده در میان cowper دمیده می شود. مقادیر از پیش تنظیم شده ی دمای گاز و فشار گاز اتمیزه شدن به وسیله‌ی مخلوطی از گاز گرم شده از cowper با گاز درون اتاق به دست آمده است. قطرات کوچک مذاب نتیجه شده در اسپری ممکن است کونچ شود و حدود  $2\text{m}$  زیر نازل اتمیزه شدن جامد گردد. پودر جامد شده در ته برج اسپری جمع آوری می شود. بخشی از پودرها در زیر سیکلون ته نشین می شود.

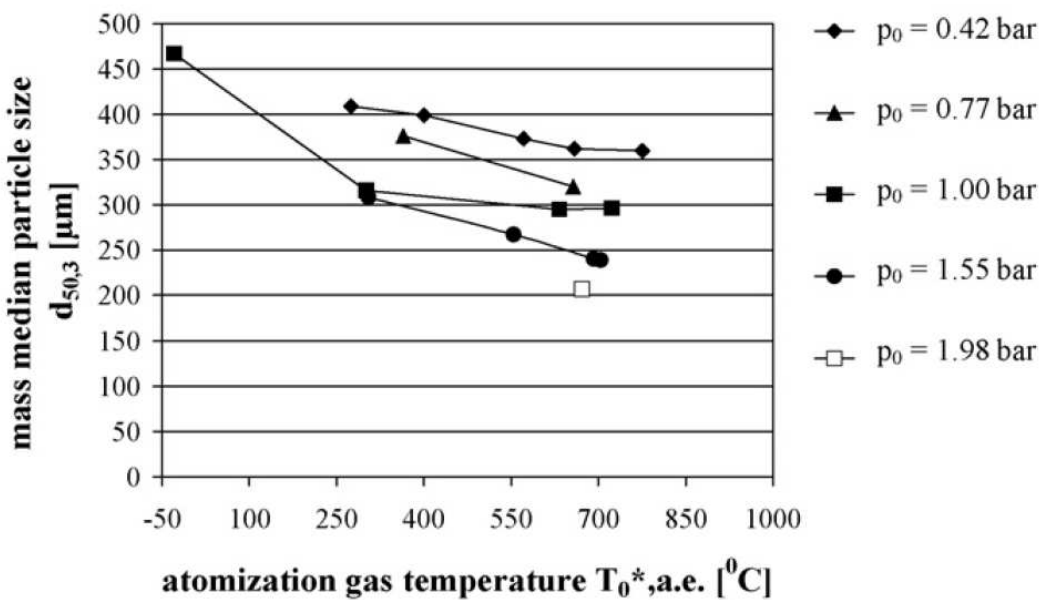
شکل زیر هم یک تصویر SEM از پودر اسپری شده از آزمایش اتمیزه شدن مذاب معدنی با استفاده از سیستم اتمیزه شدن ترکیبی را نشان می دهد. کسری از ذرات اسپری شده در محدوده  $110$  تا  $350\text{ }\mu\text{m}$  در شکل نشان داده شده است. اساساً ذرات دیده شده کروی هستند. در کل کسر ذرات به ذرات فیبری، بالای  $90\%$  می باشد.



میکروگرافی از ذرات مذاب مینرالی اتمیزه شده با گاز گرم (اندازه ذرات  $110$ - $350\text{ }\mu\text{m}$ )

شکل زیر اندازه ذراتی که از اتمیزه شدن این مذاب سرباره ای معدنی در دماها و فشارهای گازی اتمیزه شدن مختلف ناشی می شود را نشان داده است. متوسط اندازه ذره بر حسب دمای گاز اتمیزه شدن رسم شده است. دمای گاز درج شده در گراف، دمای بعد از انبساط است. ماکزیمم دمای گاز قبل از انبساط است. با افزایش دمای گاز و افزایش فشار گاز، اندازه ی ذره کاهش می یابد. برای تنظیم شرایط

آزمایشی مینیمم متوسط اندازه ذره به دست آمده  $210 \mu\text{m}$  است. در مقایسه با آزمایش های مدل و ویژگی های گلیسیرین، مینیمم اندازه ذره بزرگتر است. این نتایج از ماقرئی دمای گاز اتمیزه شدن قابل دسترس در تأسیسات به دست آمده است. دمای به دست آمده هنوز در مقایسه با دمای مذاب بسیار پایین است. قبل و در مدت فرایند تجزیه، مذاب سریعاً خنک شده است، بنابراین ویسکوزیته افزایش می یابد و کارایی تجزیه محدود شده است.



نتایج آزمایشی اتمیزه شدن مذاب مینرالی در سرعت  $1500 \text{ min}^{-1}$  در دیسک زاویه ای

### آنالیز انجاماد در فرایند اسپری به روش اتمیزه کردن:

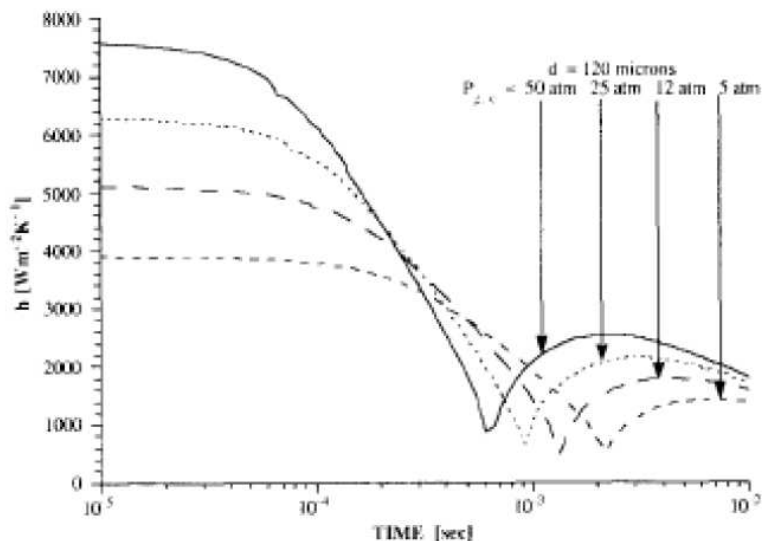
اسپری به روش اتمیزه کردن یک فرایندی برای تولید ذرات است. در این فرایند جریان مذابی از فلز با پراکندگی مناسبی از قطرات به وسیله‌ی جت گازی با سرعت بالا تفکیک شده است. برایند قطرات نیمه جامد شده به سمت یک زیر لایه (جایی که برخورد می‌کنند) هدایت می‌شوند و به شکل میله‌هایی سریعاً جامد شده جمع آوری می‌شوند. سرعت‌های بالای جامد شدن به دلیل نازکی میله‌ها و استخراج سریع گرمای اتمسفر خنثی در طول برخورد به دست می‌آید. مدل به صورت زیر می‌باشد: تولید قطرات فلزی به وسیله‌ی فشار بالای اتمیزه شدن گاز خنثی که واکنش گاز - قطره و برایندی از توابع اندازه‌ی قطره را در

بردارد، مدل جوانه زنی فاز جامد مورد انتظار که به اندازه‌ی قطره بستگی دارد، تاریخچه‌ی گرمایی و جامد شدن قطرات در پرواز. تأثیر پارامترهای فرایند مثل فشار گاز اتمیزه کردن، زاویه‌ی ترشوندگی، ویژگی‌های هندسی اتمایزر و بوته‌ی تغذیه، فاصله‌ی بین نازل‌های اتمیزه کردن و زیرلايه، روی ساختار نهایی ارزیابی می‌شود. به عنوان نتیجه‌ای از آنالیز، انتخاب بهینه‌ی پارامترهای فرایند می‌تواند برای تولید ریزساختار مناسب ایجاد شود.

نکات:

۱) کاهش قطر روزنه‌ی لوله‌ی ریزش، یکنواختی اندازه‌ی ذره در رسوب را بهبود می‌دهد. افزایش فشار باعث باریک شدن محدوده اندازه می‌شود.

۲) ضرایب انتقال گرمایی شدیداً با زمان تغییر می‌کند، ابتدا منحنی قبل از گذشت یک هزارم ثانیه کاهش شدیدی می‌یابد و به یک مینیمم موضعی می‌رسد، دوباره به یک ماکزیمم موضعی افزایش می‌یابد و سپس به طور آهسته کاهش می‌یابد. بالاترین مقادیر ضریب انتقال گرمایی مربوط به اندازه‌های قطره‌ی کوچک هستند.



تکامل ضریب انتقال گرمایی ( $\text{wm}^{-1}\text{k}^{-1}$ ) بر حسب زمان (s) برای فشارهای در رنج ۵-۵۰ atm با اندازه  $\mu\text{m}$

۳) تاریخچه‌ی گرمایی، از دست دادن حرارت در اثر سرد شدن را نشان می‌دهد. مقادیر تحت تبرید از محدوده‌ی  $157-165\text{K}$  برای قطراتی با اندازه‌های  $20-120\mu\text{m}$  که در فشار  $12\text{atm}$  اتمیزه شده‌اند و یک زاویه‌ی ترشوندگی  $90^\circ$  دارند شروع می‌شود. وقتی که حفره‌ای برای جوانه زنی فعال وجود داشته باشد، فقط مقادیر تحت تبرید  $1-3\text{K}$  مورد نیاز است. به طور عکس، زمان‌های جوانه زنی با افزایش فشار اتمیزه کردن کاهش می‌یابد. زاویه‌ی ترشوندگی اثر شدیدی روی پارامترهای جوانه زنی دارد. برای یک انتخاب بسیار خوب از پارامترهای فرایند آگاهی از زاویه‌ی ترشوندگی لازم است.

۴) سرعت‌های گاز به طور سریع با فاصله کاهش می‌یابد. اتمیزه کردن در ناحیه‌ی برخورد بین گاز و مایع در سرعت‌های گازی فوق صوت فقط برای فشارهای خیلی زیاد  $9\text{atm}$  اتفاق می‌افتد.

۵) سرعت‌های قطرات تغییرپذیری (قابلیت تنظیم) خوبی را با فشار اندازه‌ی قطر و فاصله‌ی پرواز نشان می‌دهد. کوچکترین اندازه‌ی قطرات بالاترین سرعت‌های ماکریم را دارند. بزرگترین قطرات در اندازه آن هایی هستند که بالاترین سرعت‌ها را در هر فشار اتمیزه کردن دارند.

۶) رنج سرعت‌های فریز کردن از  $8/5 \times 10^3$  تا  $2/4 \times 10^4 \text{ K/S}$  است. پارامتر فرایند اصلی مؤثر بر سرعت فریز کردن، اندازه‌ی قطرات است.

۷) مقدار کسر جامد شده‌ی به دست آمده از قطرات در طول فرایند جامد شدن، وابسته به اندازه و فشار است. با اندازه‌های قطره‌ی بزرگتر و فشارهای اتمیزه کردن پایین‌تر قطرات شامل کسر جامد شده‌ی کمتری هستند.

۸) سرعت انتشار پیشین جامد-مایع در طور از دست دادن حرارت  $3, 6-7\text{m/s}$  است و این سرعت بعد از پس دهی حرارت  $2-6\text{mm/s}$  می‌شود.

۹) در این روش در مقایسه با فرایند اتمیزه کردن جریان جت گازی سرعت بالای معمولی، پودرهای ریزتر با توزیع اندازه‌ی باریکتری به دست می‌آید.

۱۰) اندازه‌ی ذره پودرهای آماده شده شدیداً تحت تأثیر حالت ذرات نمک در جریان گاز است. مقدار نسبی بالاتر ذرات نمک در جریان جت گازی، سرعت پرواز ذرات نمک و اندازه‌ی باریکتر ذرات نمک، باعث اندازه‌ی ریزتر پودرهای اتمیزه شده می‌شود.

### آنالیزهای فرایندهای اتمیزه کردن:

اتمیزه کردن سوخت‌های سیال می‌تواند مخلوطی از ترکیبات قابل احتراق (جامد، مایع، گاز) باشد. تجزیه‌ی هر سوخت سیال به دلیل بعضی از پدیده‌ها مثل اغتشاش، واکنش ایرودینامیکی، میکرو احتراق اتفاق می‌افتد. یک قطری برای قطره‌ی پایدار برای هر پدیده وجود دارد. فرایندهای اتمیزه کردن پیچیده شامل این ترکیب پدیده‌هاست. قطر نهایی قطره معادل با قطر مینیمم است. این استدلال سازماندهی محاسبات قطر نهایی قطره و البته بحث در مورد فرایند اتمیزه کردن را آسان می‌کند.

به طور متداول اتمیزه کردن مایع خالص در نظر گرفته می‌شود و این توجه معمولاً براساس پدیده‌ی انتخاب شده‌ای است که فرض می‌شود به طور کامل بر فرایند اتمیزه کردن غلبه کند. مثال‌هایی از این پدیده‌ها به صورت زیر هستند: ۱) اغتشاش مایع در یک اتمایزر ۲) ارتعاش مایع که به وسیله‌ی اغتشاش مایع تولید می‌شود ۳) ارتعاش مایع که به وسیله‌ی واکنش با گاز اطراف تولید می‌شود ۴) اغتشاش گاز اتمیزه کردن ۵) واکنش ایرودینامیکی بین مایع و گاز به دلیل اختلاف سرعت.

ترکیب کردن مایع‌ها می‌تواند به وسیله‌ی analogy مایع خالص بحث شود. در نظر گرفتن یکی از پدیده‌های انتخاب شده، مقداری را برای قطر ماکزیمم،  $d$ ، حالت پایدار قطره در شرایطی که برای پدیده‌ی تحت نظر فرض می‌شود، ایجاد می‌کند. به هر حال پدیده‌های مختلفی می‌تواند به طور همزمان در هر فرایند اتمیزه کردنی اتفاق بیفتد. این پیشنهاد شده است که قطر متوسط نهایی،  $d$ ، را محاسبه کنیم که معادل با کوچکترین مقدار در میان مقادیر دیگر،  $d$ ، است:

$$d = \min[d_i] \quad (1)$$

چون هر قطره ای با قطر  $d_i$  بزرگتر از  $d$  در پدیده ای که قطراتی با کوچکترین مقدار  $d$  تولید می‌شود، ناپایدار است.

حال مشکلی که وجود دارد این است که چطور معادله (1) را توجیه کنیم. اینجا در مورد مایعی که به وسیله‌ی فشار خودش اتمیزه شده است مثالی زده شده که در آن ترکیب سه پدیده‌ی ۱ و ۲ و ۳ اتفاق افتاده است. به دلیل سرعت زیاد مایع و برایند شدید اغتشاش توسعه یافته، جدایش اولیه ( $i=1$ ) مایع به طور ناگهانی بعد از خروج از دهانه‌ی نازل اتفاق می‌افتد. با بررسی این فرایند هم به صورت تئوری و هم به صورت تجربی، مقدار قطر  $d_1$  قطرات تولید شده می‌تواند تعیین گردد.

سپس اگر اختلاف زیادی در سرعت قطره اولیه و سرعت گاز وجود داشت، جدایش ثانویه ( $i=2$ ) قطرات به دلیل واکنش ایرودینامیکی بین گاز و قطرات اتفاق می‌افتد. با استفاده از مقیاس تشابه weber این ممکن است تا قطر  $d_2$  برای قطره‌ی حالت پایدار که در پدیده‌ی جدایش ثانویه تولید شده است، تعیین گردد. سپس اگر مایع شامل بعضی از اجزایی باشد که وقتی قطره پیش گرم می‌شوند، بتوانند به تولیدات گازی تجزیه شوند، ریز احتراق قطره می‌تواند اتفاق افتد و این یک ( $i=3$ ) احتمال سوم. جدایش قطره است. آنالیز مناسب مقدار  $d_3$  را برای قطر قطرات حالت پایداری که در پدیده‌ی جدایش ماده‌ی زیر احتراق تولید شده اند به دست می‌دهد

بر طبق معادله (1) قطر  $d$  قطرات تولید شده در فرایند اتمیزه شدن کلی به صورت زیر است:

$$[l_2, d_3]$$

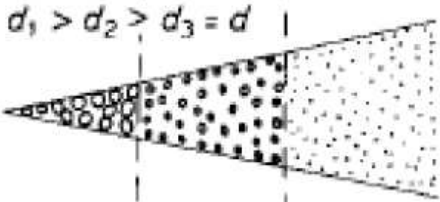
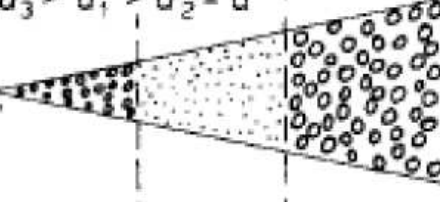
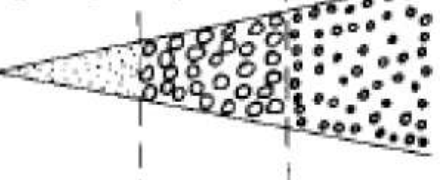
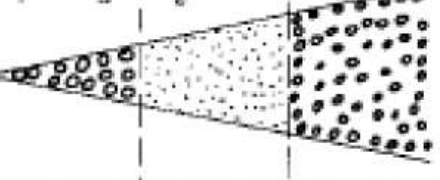
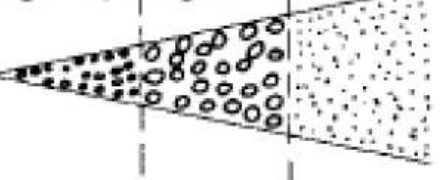
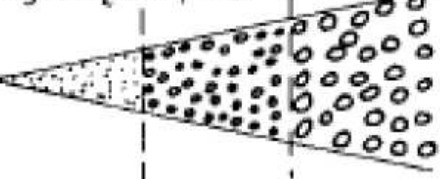
و شش مقدار احتمالی برای قطر وجود دارد (شکل ۲):

مورد ۱ وقتی که  $d_1 > d_2 > d_3$  است. بر طبق معادله ۲) قطر متوسط قطرات نهایی که در فرایند اتمیزه شدن کامل تولید می شود،  $d \equiv d_3$  است. بنابراین مکانیزم قاطع پدیده‌ی جدایش ماده‌ی ریز احتراق است و تعیین مقدار  $d$  از در نظر گرفتن ریز احتراق نتیجه می شود. تجزیه‌ی اولیه‌ی اغتشاش نه وابسته به ایرودینامیک قطره و نه وابسته به مکانیزم گرمایی ریز احتراق است که همیشه دارد اتفاق می‌افتد و بنابراین این را باید همان مورد ۱ در نظر گرفت. قطرات بزرگی که در جدایش اولیه تولید می‌شوند- اگر زمانی برای پیش گرم کردن آن‌ها به اندازه‌ی کافی وجود نداشته باشد- نخست با جدایش ثانویه برخورد می‌کنند که قطرات کوچکتری را تولید می‌کنند و بعد از پیش گرم کردن مناسب آن‌ها فرایند جدایش سومی و نهایی که قطرات کوچکتری تولید می‌کند را تحمل می‌کنند. به هر حال اگر پیش گرم کردن قطرات به اندازه‌ی کافی سریع باشد، زمانی برای جدایش ثانویه وجود ندارد و ریز احتراق قطرات به طور ناگهانی بعد از جدایش اولیه اتفاق می‌افتد. بنابراین در مورد ۱) پیدایش جدایش ثانویه‌ی ایرودینامیکی محتمل است اما قطعی نیست.

به تناسب همه‌ی موارد دیگر هم به همین نحو می‌شود. مورد ۲) وقتی است که بعد از  $d_3 > d_1 > d_2$  که جدایش اولیه (اغتشاش) جدایش ثانویه (ایرودینامیکی) اتفاق می‌افتد و قطعی است که  $d = d_2$ . فرصتی برای جدایش سوم (ریز احتراق) وجود ندارد، زیرا توجه به پدیده‌ی ریز احتراق قطره، قطر  $d_3$  بزرگتر از قطر  $d_2$  را برای پدیده‌ی ترکیب قبلی می‌دهد ( $d_3 > d_2$ ).

مورد ۳) وقتی است که  $d_1 > d_2 > d_3$ . جدایش اولیه‌ی ای (اغتشاش) که ظاهر می‌شود نخست قطر نهایی ( $d = d_1$ ) را تعیین می‌کند و هیچ ترکیب پدیده‌ی دیگری نمی‌تواند اتفاق بیفتد، زیرا بسیاری از قطرات مجبورند قطرشان را افزایش دهند ( $d_3 > d_2 > d_1$ ).

مورد ۴ وقتی است که  $d_2 > d_3 > d_1$ . جدایش اولیه (اغتشاش) قطرات بزرگی را تولید می‌کند و جدایش ثانویه (ایرودینامیکی) است که غالب است ( $d = d_2$ ). اگر پیش گرم کردن قطره خیلی سریع بعد از جدایش اولیه اتفاق افتد، احتمال سوم وجود دارد، احتمال ریز احتراق می‌تواند بعد از ایرودینامیکی اتفاق افتد.

Case number	Order of diameters and symbolic scheme of jet	Statement about possible means of disintegration with the decisive mechanism in capitals
1	$d_1 > d_2 > d_3 = d$ 	Yes : turbulent MICROEXPLOSIVE Prob.: aerodynamic
2	$d_3 > d_1 > d_2 = d$ 	Yes : turbulent AERODYNAMIC No : microexplosive
3	$d_2 > d_3 > d_1 = d$ 	Yes : TURBULENT No : aerodynamic microexplosive
4	$d_1 > d_3 > d_2 = d$ 	Yes : turbulent AERODYNAMIC Prob.: microexplosive
5	$d_2 > d_1 > d_3 = d$ 	Yes : turbulent MICROEXPLOSIVE No : aerodynamic
6	$d_3 > d_2 > d_1 = d$ 	Yes : TURBULENT No : aerodynamic microexplosive

مقادیر قطری ممکن در مثال مطرح شده ای اتمیزه کردن.

مورد ۵ وقتی است که  $d_3 > d_2 > d_1$ . فرصتی برای جدایش ایردوینامیکی وجود ندارد که اتفاق بیقتد. زیرا جدایش اولیه قطراتی کوچکتر از قطر تولید می‌کند. بنابراین بعد از جدایش اولیه، قطعاً جدایش سوم (ریز احتراق) ( $d=d_3$ ) ظاهر می‌شود.

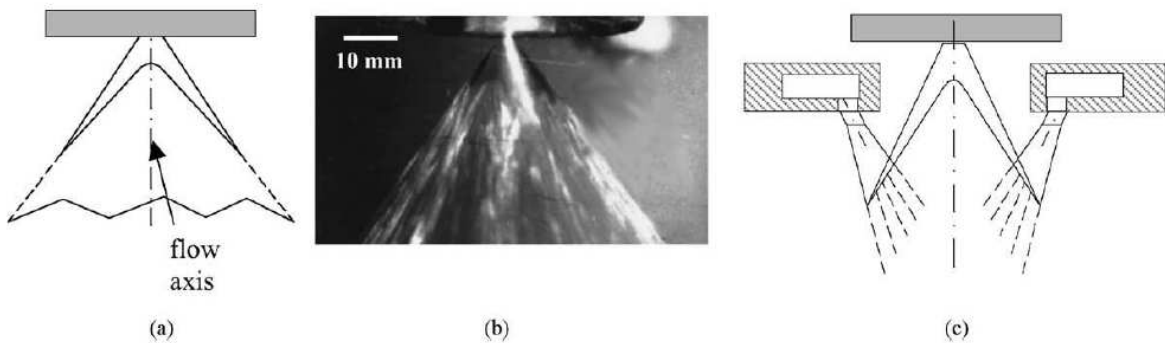
مورد ۶ وقتی است که  $d_1 > d_2 > d_3$ . هیچ فرصتی برای پدیده‌های جدایش سوم یا دوم وجود ندارد. زیرا جدایش اولیه (اغتشاش) کوچکترین قطرات را تولید می‌کند و بنابراین قطر قطرات نهایی  $d=d_1$  است.

### فرایند اتمیزه شدن برای پودر فلزی:

یک فرایند اتمیزه شدن جدیدی توسعه یافته است که ترکیبی از اتمیزه شدن گازی و فشاری است. مذاب با فشار نازل به صورت یک فیلم نازک توالی مخروطی شکل خارج می‌شود. بعد از مرحله‌ی پیش فیلم (pre-filming)، مذاب به وسیله‌ی یک جریان گازی که با یک حلقه‌ی نازل فرستاده می‌شود، اتمیزه می‌شود. اهداف این بررسی این است تا یک توزیع اندازه‌ی کم و مصرف پایین گاز به طور خاص را در مقایسه با تکنیک اتمیزه شدن گازی متداول به دست آوریم. هر دو باعث کارایی بالاتر و قیمت‌های پایین تر می‌شود. قلع و برخی آلیاژها به طور موفقیت آمیزی با این تکنیک اتمیزه می‌شود. قطرهای میانگین جرمی از آزمایشات مختلف بین  $20 \text{ to } 100 \mu\text{m}$  است. آنالیزهای الک‌کردن پودر قلع، توزیع اندازه ذره‌ی نزدیک به هم را نشان می‌دهد.

تکنیک اتمیزه شدن جدید یک نازل فشاری متداولی را استفاده می‌کند و یک اختلاف فشار بالای  $1/0 \text{ MPa}$  فلز مذاب شده را به درون یک محفظه‌ی چرخشی هل می‌دهد، به طوری که مذاب به داخل جریان می‌یابد، تا وقتی که به اندازه‌ی کافی فشار به آن وارد شود تا نازل فشاری را در میان یک روزنه‌ی استوانه‌ای کوچک رها کند. در خارج، به دلیل نیروی گریز از مرکز یک فیلم نازک مخروطی تولید می‌شود. (شکل(a)). ضخامت فیلم با جهت جریان کاهش می‌یابد. شکل (b) فتوگرافی از فرایند CHA (Centrifugal Atomization Centrifugal Hydraulic) است: اتمیزه شدن هیدرولیکی گریز از مرکز را در هنگامی که

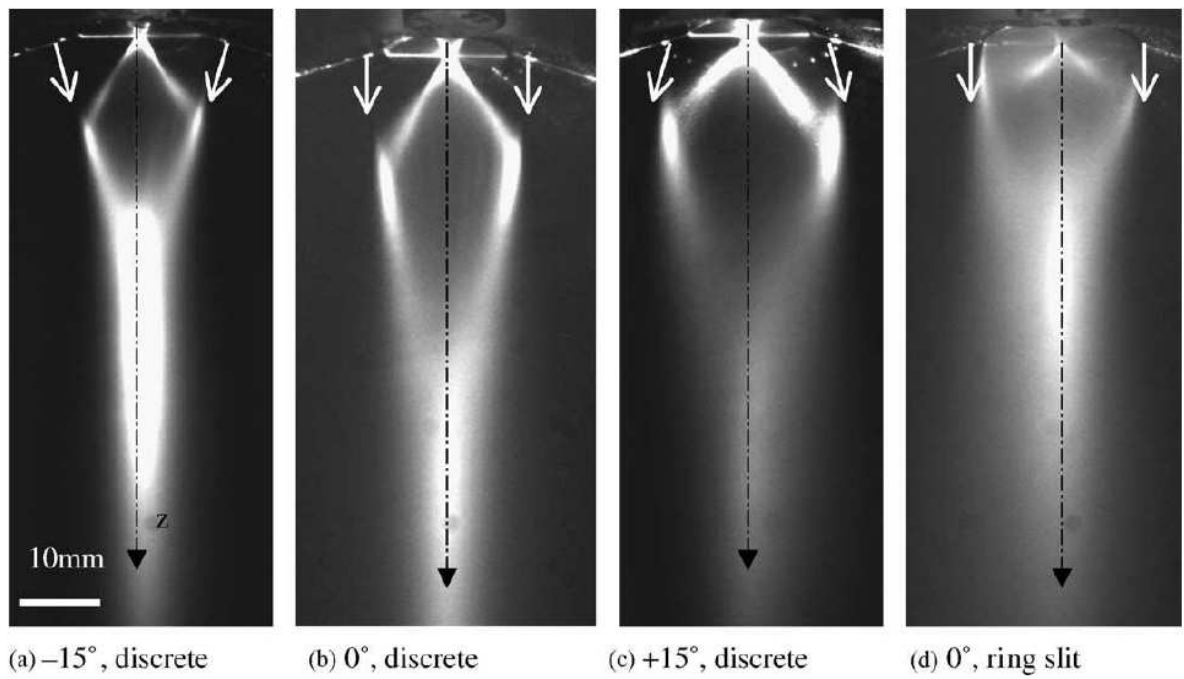
مذاب نازل فشاری را ترک می کند نشان می دهد، بعد از ۱۵-۱۰ mm مسافت در سطح مخروط، فیلم نازک پیوسته شروع به جدا کردن روزنہ های کوچک تشکیل شده می کند. این امر باعث جدایش لیگامنت های (پیوندهای) بزرگ می شود. فیلم نازک سطح ایده آلی را برای جدایش کارآمد در میان قطرات کوچک به وسیله ای جت های گازی با سرعت بالا فراهم می کند. یک شماتیکی از این فرایند در شکل (c) نشان داده شده است.



شماتیکی از CHA. (a) مقطع عرضی فیلم مخروطی. (b) فوتوگرافی با آلیاز قلع. (c) شماتیکی از تکنیک اتمیزه شدن جدید (۷)

جزئیات فرایند اتمیزه شدن شناخته و بررسی نشده است. به منظور توسعه ای این فرایند آزمایشات اولیه به جای فلز ذوب شده با آب و به جای نیتروژن با هوا انجام می شود. هدف از این آزمایشات مطالعه ای واکنش بین جریان گازی و فیلم مایع می باشد. در طول این بررسی، چندین پارامتر تغیر می کند (سرعت جریان آب، سرعت جریان گاز یا فشار گاز در نازل گازی و طراحی نازل گازی). شکل یک مثالی از تصاویر light sheet لیزری را نشان می دهد. ناحیه های روشن (بدون روکش) فیلم آب و ذرات اتمیزه شده را نشان می کند. فیلم آب از نازل خارج می شود و یک فیلم مخروطی را می سازد که به وسیله ای جریان گازی اتمیزه می شود (پیکان های سفید برای نشان دار کردن خروج جریان گاز و جهت جریان اولیه استفاده شده است). به طور کلی نازل های جت جدا از هم (آرایه ای محوری روزنے های استوانه ای) و زوایای برخورد محوری مختلف ( $-15^\circ$ ,  $0^\circ$ ,  $+15^\circ$ ) استفاده شده است. میتوان مشاهده کرد که جهت های جریان گاز

مختلف مؤثر بر رأس زاویه‌ی فیلم آب به صورت مخروطی است. علاوه بر این از نازل ring-slit استفاده شده است. تصویر light sheet لیزری نشان می‌دهد که فیلم آب بیشتر مؤثر است (شکل زیر). همچنین مشاهده می‌شود که بسیاری قطرات به نازل گازی برخورد می‌کنند که می‌تواند باعث مشکلات مهمی در مورد فلز ذوب شده گردد.



تصاویر اتمیزه شدن laser light sheet آب با تکنیک اتمیزه شدن جدید، طراحی‌های نازل گازی مختلف، جریان گازی ثابت ( $45 \text{ kg/h}$ )، جریان آب ثابت تقریبا ( $50 \text{ kg/h}$ ) (۷)

تکنیک اتمیزه شدن جدید ترکیبی از یک نازل فشاری (اتمیزه شدن هیدرولیکی گریز از مرکز) و یک نازل گازی توسعه یافته است. این تکنیک به وسیله‌ی مشاهده‌ی الگوهای جریان با lazer light illumination و اندازه گیری فشار استاتیکی در مجاورت مذاب خروجی اصلاح شد. برای اولین بار، فلزهای ذوب شده (قلع خالص و بعضی آلیاژها) با این روش جدید با استفاده از سرعت‌های جریان گازی مختلف به طور موفقیت آمیزی اتمیزه شدند. پودر قلع به وسیله‌ی الک کردن و diffraction آنالیز شد. هر دو تکنیک اندازه گیری نتایج مختلفی را برای قطر متوسط توده ( $d_{50}$ ) و

مشخصه‌ی توزیع اندازه ذره ( $d_{84}/d_{50}$ ) ارائه می‌دهد. کاهش در اندازه‌ی متوسط ذره با افزایش سرعت جریان گاز می‌تواند به وسیله‌ی یک قانون اکسپوننسیالی منفی توصیف شود. برای مقایسه با دیگر تکنیک‌های اتمیزه شدن این نیاز وجود دارد تا همان روش‌ها برای آنالیز پودر فلزی را استفاده کنیم. آنالیز الک‌کردن نشان می‌دهد که یک متوسط قطره ذره بزرگتری که تقریباً  $15\mu\text{m}$  است، بزرگتر از آنی است که به وسیله‌ی lazer light diffraction و یک نسبت قطر بسیار بهتر ( $d_{84}/d_{50}$ ) در حدود  $1/6$  اندازه گیری می‌شود. یک توزیع اندازه ذره‌ی باریک، پارامتر کلیدی برای بازده و بهره‌وری بالاتر است.

#### رسوب به روش اسپری با استفاده از تکنیک اتمیزه شدن ضربه‌ای:

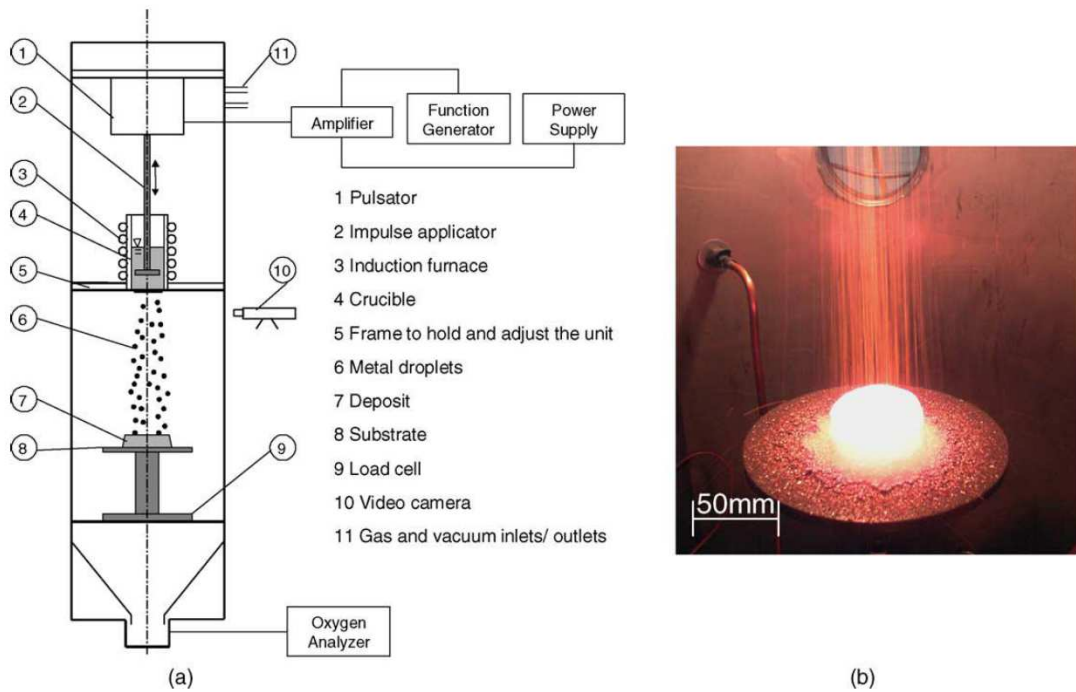
اتمیزه شدن ضربه‌ای تکنیک جدیدی است که برای رسوب به روش اسپری استفاده شده است. این تکنیک تک سیال باعث مشخصه‌های اسپری مختلف و شرایط ضربه‌ی متفاوت قطرات می‌شود در مقایسه با تکنیک اتمیزه کردن گازی که تکنیک متداول مورد استفاده برای رسوب به روش اسپری است. آزمایشات رسوب با آلیاژ Cu-6wt%Sn انجام می‌شوند تا تناسب اتمیزه کردن ضربه‌ای را بالا برند تا ماده‌ی متراکمی تولید کنند. براساس این آزمایشات، مدلی توسعه داده شده تا تاریخچه‌ی گرمایی و سرعت‌های انجاماد موضعی ماده‌ی رسوب شده را شبیه سازی کند. مطالعات عددی نشان می‌دهد که چطور شرایط سرد کردن مختلف بر روی سرعت انجاماد ماده تاثیر می‌گذارد.

#### مراحل آزمایش:

یک شماتیکی از فرایند اتمیزه کردن ضربه‌ای (a) و یک تصویری از رسوب به روش اسپری (b) در شکل نشان داده شده است.

فلز در یک بوته‌ی گرمایی ذوب می‌شود. ترموکوپل داخل مذاب دمای واقعی مذاب را نشان می‌دهد. بعد از رسیدن به دمای مناسب، مذاب در میان روزنہ‌ی صفحه‌ی فلزی در عمق بوته به وسیله‌ی اعمال کننده‌ی ضربه که به پولساتور متصل شده است، هل داده می‌شود. قطرات قبل از این که روی زیر

لایه در محفظه ای اسپری فرود آیند در میان اتمسفر گاز خنثی (نیتروژن) خنک می شود، در اتمسفر خنثی با  $200 \text{ ppm}$  اکسیژن در برج به وسیله‌ی سه مرتبه پاکسازی با گاز خنثی به دست می آید.



(a) واحد اتمیزه شدن ضربه ای (b) تصویری از رسوب به روش اسپری

در نتیجه این که یک آلیاژ مسی ( $\text{Cu}-6\text{wt\%Sn}$ ) به وسیله‌ی اتمیزه کردن ضربه ای اتمیزه می‌شود و سپس روی یک زیر لایه‌ی چرخان رسوب داده می‌شود تا یک رسوب استوانه‌ای تولید کند. ماده دانسیته‌ی بالا و بازده بسیار قابل قبولی را نشان می‌دهد.

چهار پارامتر به طور قابل توجهی مؤثر بر سرعت انجام داده هستند که شامل جریان مذاب، خنک سازی زیر لایه، بهبود

مقاومت اتصال بین رسوب و زیر لایه و انتقال گرما است. اگر رسوب از لحاظ ضخامت کمتر از یک میلی متر شد، جریان مذاب و خنک سازی زیر لایه می‌تواند تا سرعت‌های سرد کردن بالایی را برای کل رسوب با  $60 \text{ mm}$  ارتفاع تامین کند.

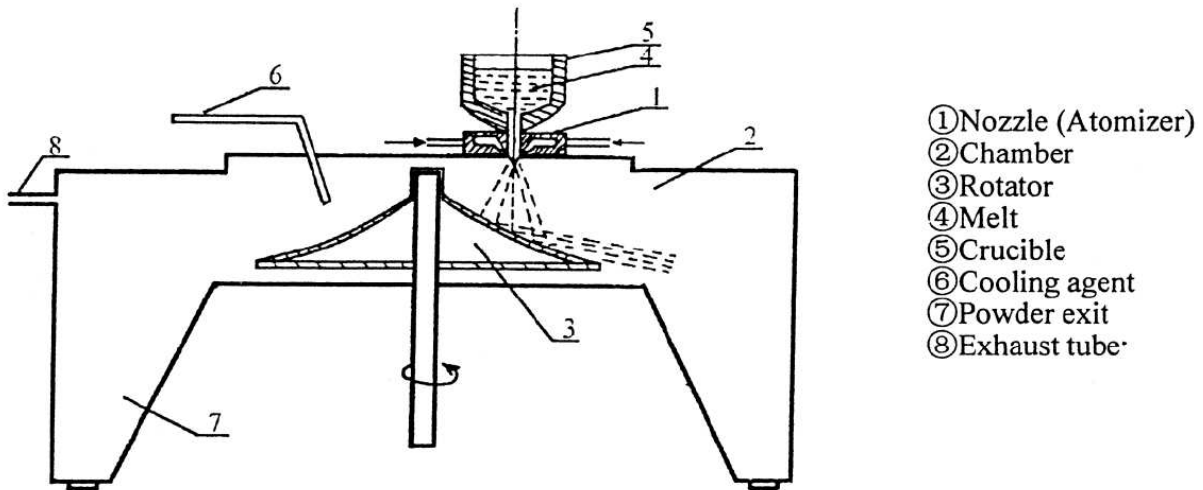
## مطالعه‌ی انجاماد سریع با تکنیک اتمیزه کردن و تولید پودرهای آلیاژ فلزی:

تکنیک‌های اتمیزه کردن گاز خنثی با فشار بالا (HPIGA)، اتمیزه کردن گازی آلتروسونیک (USGA)، اتمیزه کردن چرخان گریز از مرکز (CSA) و اتمیزه کردن با سریع سرد کردن دو مرحله‌ای استفاده می‌شوند تا پودرهای آلیاژی فلزی مختلفی را تولید کنند و این پودرها مورفولوژی‌ها و ساختارهای مختلفی دارند. سرعت سرد کردن در این روش‌ها حدود  $10^5 \text{ K/S}$  است. سرعت سرد کردن این تکنیک سریع سرد کردن دو مرحله‌ای به طور قابل توجهی بالاتر از آنی است که در یک اتمیزه کردن گازی تک مرحله‌ای متداول و اتمیزه کردن گازی آلتروسونیک به دست می‌آید. اما پودرها‌ی که به وسیله‌ی تکنیک سریع سرد کردن دو مرحله‌ای آماده می‌شوند، یک مورفولوژی ورقه ورقه شده با یک شکل دیسکی دارد.

## آزمایش:

دستگاه اتمیزه کردن گازی فشار بالا که با دیسک چرخشی گریز از مرکز ترکیب شده است، در شکل زیر نشان داده شده است. این دستگاه اساساً شامل سه بخش است: نازل‌ها، دیسک چرخان و کوره‌ی ذوب القایی. ساختار نازل‌هایی که در آزمایش ما استفاده شده، به فرم باریک مدور است. آن‌ها به طور متداول در دو روش گوناگون مورد استفاده هستند: نازل مسدود و نازل سقوط آزاد. اتمایزر پودرها را با یک گاز اتمیزه کردن دینامیکی با فشار  $4-8 \text{ MPa}$  تولید می‌کند، سپس ذرات ذوب شده به وسیله‌ی فشار بالای گاز شتاب داده می‌شوند و با چرخاننده‌ی مخروطی شکل برخورد می‌کنند (چرخاننده از مس ساخته شده است، ماکزیمم سرعت چرخش  $7000 \text{ rpm}$  بود). ذرات مذاب شده به طور پیوسته می‌شکنند، به سرعت پرواز می‌کنند، به وسیله‌ی نیروی کشش سطحی کروی می‌شوند. عامل سردکننده آب یا نیتروژن مایع

است. گاز خنثی اتمیزه شدن مثل نیتروژن یا آرگون استفاده می شود تا جریان مذاب شکسته شود و پودرهای مذاب سرد شوند.

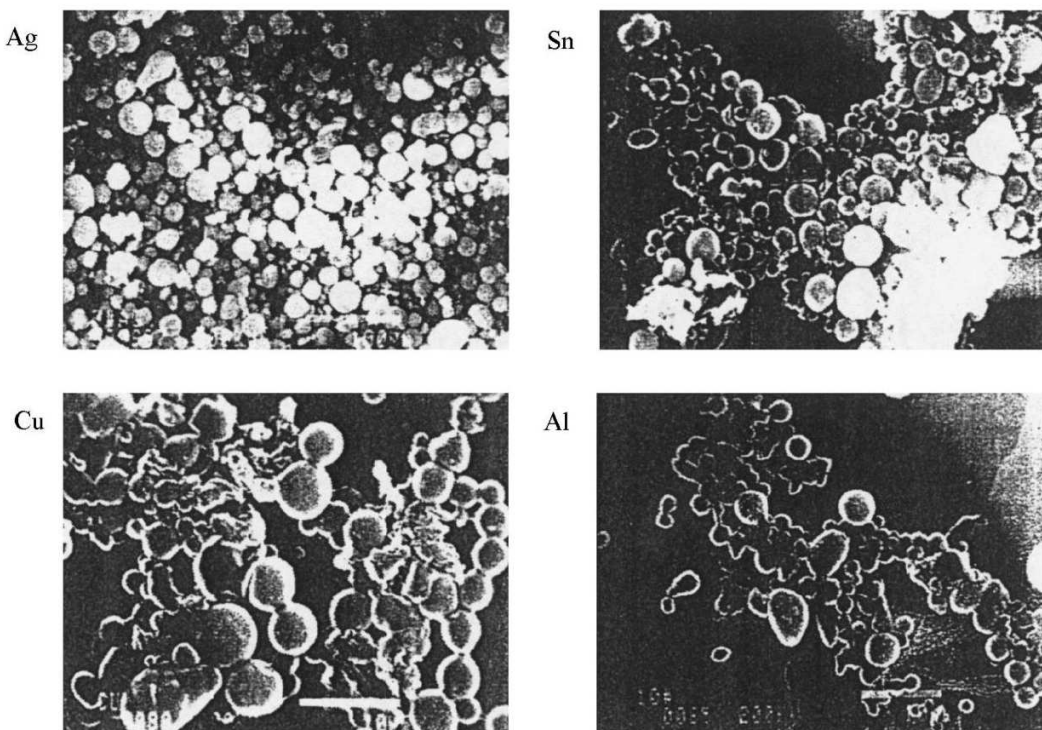


شکل ۱. دستگاه اتمیزه کردن HPGCRD (۸)

فرایند تولید پودرهای آلیاژ فلزی به صورت زیر است. اول، فلز یا آلیاژ در یک کورهٔ ذوب می شوند. دوم، مذاب درون اتمایزر جریان می یابد و به قطرات مذاب با اندازه های مختلف به وسیلهٔ گاز خنثی اتمیزه می شود. یک اندازهٔ بحرانی از پودرها در یک فاصلهٔ پرشی کوتاه بین اتمایزر و دیسک چرخان وجود دارد، قطراتی که کوچکتر از اندازهٔ بحرانی هستند، قبل از این که آن ها به دیسک برسند، جامد خواهند شد، آن ذرات درشت تر در حالت مذاب خواهند بود. دیسک چرخان فقط ذرات بزرگتر را می شکند. سرانجام همهٔ ذرات با اندازه های مختلف به وسیلهٔ عامل سرد کننده جامد خواهند شد، در یک مخزن جمع آوری می شوند، آب تخلیه می شود، در خلاً خشک می شود و به وسیلهٔ الک طبقه بندی می شوند. توزیع اندازهٔ ذرهی پودرهای اتمیزه شده به وسیلهٔ روش رسوب گذاری ثقلی اشعه ایکس و SEM اندازهٔ گیری می شود.

## مشخصه‌ی بعضی از پودرهای خیلی ریز فلزی

شکل ۲ اندازه و مورفولوژی بعضی از پودرهای فلزی اتمیزه شده را نشان می‌دهد که زیر مشاهده شده اند. مورفولوژی این پودرهای، کروی یا شبه کروی است. متوسط اندازه‌ی ذره و مورفولوژی تقریباً مرتبط با بعضی پارامترهای اتمیزه شدن مثل دمای خیلی بالای مذاب، سرعت جریان جرمی مذاب و گاز، فشار گاز اتمیزه کردن و سرعت چرخش دیسک چرخان می‌باشد. نتایج تجربی نشان می‌دهد که پودرهای  $\text{Ag}, \text{Cu}, \text{Sn}, \text{Al}$  بسیار ریز هستند. قطر متوسط جرمی آن‌ها ( $D_{50}$ ) معمولاً به کوچکی  $12 \mu\text{m}$  است که به وسیله‌ی رسم گذاری ثقلی اشعه‌ی ایکس اندازه‌گیری می‌شود، قطرهای متوسط حدود ۸  $\mu\text{m}$  است که به وسیله‌ی SEM اندازه‌گیری می‌شود. مقدار اکسید پودرهای آلومینیم معمولاً کمتر از  $0.3\text{wt}\%$  است، مقدار اکسید برای آلیاژهای بر پایه‌ی نیکل کمتر از  $0.03\text{wt}\%$  است.



مشخصه‌ی بعضی از پودرهای خیلی ریز فلزی HPGCRD تولید شده به وسیله‌ی تکیک SEM

## تکنولوژی اتمیزه کردن جامد و فرایند فلز و آلیاژ مذاب:

یک تکنولوژی اتمیزه کردن جامد با یک جریان جت گازی سرعت بالا توسعه یافته است که شامل ذرات نمک به عنوان واسطه ای اتمیزه کردن می باشد. پودرهای آلیاژی و فلزی با اندازه ذره ای ریزتر، با این تکنولوژی نسبت به آن هایی که با تکنولوژی اتمیزه کردن گازی معمولی تولید می شوند یک توزیع اندازه باریکتر و سرعت سرد کردن بالاتری دارند. فاکتورهای مؤثر روی اندازه ذره ای پودرهای فلزی آماده شده به ویژه اثر ذرات نمک Na-Cl آنالیز شده اند.

**مراجع:**

[1] V.Erukhimovitch and J.Baram, “Analysis of solidification in spray atomized and codeposited metal-matrix composites” ,Material Engineering Department; Ben-Gurion university of negev; Beer-shva; Israel.

[2] C.Czisch, U.Fritsching , “Atomizer design for viscous-melt atomization”  
Chemical Engineering Department, University Bremen, Badgasteiner Str.  
3,28359 ,Bremen, Germany

[3] Gerhard Wolf\*, Hans Wilhelm Bergmann,”Investigations on melt atomization with gas and liquefied cryogenic gas” ,ATZ-EVUS, Kropfersrichter Strabe 6-8, D-92237 Sulzbach-Rosenberg, German.

[4] Enrica Boscoa,\* ,Stefano Enzob, MNarcello Bariccoa , “X-ray analysis of microstructure in Au-Fe melt spun alloys ” , A Dipartimento di Chimica IFM-INFM, Universit “adi Torino, via Pieotto Giuria 9,Torino 10125, Italy

[5] Zhonghua Zhang,\* ,Yan Wangb, Xiufang Biana, “Microstructure selection map for rapidly solidified Al-rich Al-Ce alloys” ,The Key Laboratory of Liquid Structure and Heredity of Materials, School of Materials Science and Engineering, Ministry of Education,

[6] N.Ellendt a, R. Schmidt a, J. Knabea, H. Henein b, V. Uhlenwinkel , “Spray deposition using impulse atomization technique” , A Universitat Bremen, SFB 372, Badgasteinerstr. 3, Bremen 28359, Germany

[7] Stanislav Lagutkin b, Lydia Achelis a, Sheikhali Sheikhaliev , “Atomization process for metal powder”

a University Bremen, SFB 372, Badgasteiner Str.3,28359 Bremen, Germany

[8] J. Cai a,b, G.C. Mac, Z. Liud, H.F. Zhang a, Z.Q. Hua ,”Influence of rapid solidification on the microstructure of AZ91HP alloy” , a Shenyang National Laboratory for Materials Science, Institute of Metal Research,

[9] Chen Zhenhuaa,\* ,Chen Ganga, Yan Honggea, Chen Dingb , “Solid atomization technology and process of molten metal and alloy”, School of Materials Science and Engineering, Hunan University, Changsha 140082, PR China